



A hybrid model of extended FMEA model based on F-PIPRECIA and Z-EDAS methods with Bow Tie to evaluate cybersecurity risks in Industry 4.0

Ali Memarpour Ghiaci¹ and Jafar Gheidar-Kheljani²

1. Ph.D Student, Industrial Engineering Department, Malek Ashtar University of Technology, Tehran 1774-15875, Iran.
Email: ali.memarpour@mut.ac.ir
2. Corresponding author, Associate Professor, Industrial Engineering Department, Malek Ashtar University of Technology, Tehran 1774-15875, Iran. Email: kheljani@mut.ac.ir

Article Info	ABSTRACT
Article type: Research Article	Cybersecurity issues have become a complex challenge for companies obligating to the Industry 4.0 paradigm. On the other hand, the concept of cybersecurity in the context of Industry 4.0 proved to be an emerging topic in recent literature. Therefore, in the present study, for the first time, a hybrid FMEA model developed based on multi-criteria decision-making methods in uncertain environments with the Bowtie method in four phases has been used to evaluate cyber security in Industry 4.0: First, based on the literature, 16 cybersecurity risks in the fourth industrial revolution are identified based on the FMEA model, and the determinants of RPN are quantified. Then, the PIPRECIA fuzzy method was used to weigh the factors, and the Z-EDAS method was used to prioritize and critically identify. Finally, Bow Tie analysis has been used to analyze these analyses. The result of the proposed implementation has shown its capability and superiority compared to other methods of traditional effects, such as FMEA and Fuzzy EDAS.
Article history: Received 2023 October 26 Received in revised form 2023 December 11 Accepted 2024 February 19 Published online 2024 March 15	
Keywords: customer churn, machine learning, random forest algorithm, site optimization.	

Cite this article: Memarpour Ghiaci, A. & Gheidar-Kheljani, J. (2023). A hybrid model of extended FMEA model based on F-PIPRECIA and Z-EDAS methods with Bow Tie to evaluate cybersecurity risks in Industry 4.0. *Engineering Management and Soft Computing*, 9 (2). 149-176. DOI: <https://doi.org/>



© The Author(s)
DOI: <https://doi.org/>

Publisher: University of Qom

یک مدل ترکیبی FMEA توسعه یافته مبتنی بر روش های Z-EDAS و F-PIPRECIA با روشنگاری خطر امنیت سایبری در انقلاب صنعتی چهارم

علی معمارپور غیاثی^۱  و جعفر قیدر خلجانی^۲ 

۱. دانشجوی دکتری، گروه مهندسی صنایع، دانشکده مدیریت و مهندسی صنایع، دانشگاه صنعتی مالک اشتر، تهران، ایران. رایانه: ali.memarpour@mut.ac.ir
 ۲. نویسنده مسئول، دانشیار، گروه مهندسی صنایع، دانشکده مدیریت و مهندسی صنایع، دانشگاه صنعتی مالک اشتر، تهران، ایران. رایانه: kheljani@mut.ac.ir

اطلاعات مقاله	چکیده
نوع مقاله: مقاله پژوهشی	مسائل امنیت سایبری به چالشی پیچیده برای شرکت هایی که به پارادایم انقلاب صنعتی چهارم پاییند هستند، تبدیل شده است. از سوی دیگر، مفهوم امنیت سایبری در زمینه انقلاب صنعتی چهارم موضوعی نوظهور در ادبیات اخیر است. لذا در مطالعه حاضر، برای اولین بار جهت ارزیابی خطرهای امنیت سایبری در انقلاب صنعتی چهارم از یک مدل ترکیبی FMEA توسعه یافته مبتنی بر روش های تصمیم گیری چندمعیاره در شرایط عدم قطعیت با روشنگاری Bow Tie و در چهار فاز استفاده شده است. ابتدا ۱۶ خطر امنیت سایبری در انقلاب صنعتی چهارم طبق مدل FMEA شناسایی شده و عوامل تعیین کننده RPN مقداردهی می شوند. سپس از روشنگاری Fuzzy PIPRECIA برای وزن دهنده به عوامل و روشنگاری Z-EDAS جهت اولویت بندی و شناسایی خطرهای بحرانی استفاده شده است. در آخر، از تحلیل Bow Tie برای تحلیل این خطرها استفاده شده است. نتایج حاصل از پیاده سازی رویکرد پیشنهادی نشانگر قابلیت و برتری آن در مقایسه با سایر روش های سنتی نظیر FMEA و EDAS بوده است.
تاریخ دریافت: ۱۴۰۲/۰۸/۰۴	تاریخ بازنگری: ۱۴۰۲/۰۹/۲۰
تاریخ پذیرش: ۱۴۰۲/۱۱/۳۰	تاریخ انتشار: ۱۴۰۲/۱۲/۲۵
کلیدواژه ها:	امنیت سایبری، انقلاب صنعتی چهارم، Z-EDAS، PIPRECIA

استناد: معمارپور غیاثی، علی و قیدر خلجانی، جعفر. (۱۴۰۲). «یک مدل ترکیبی FMEA توسعه یافته مبتنی بر روش های Z-EDAS و F-PIPRECIA با روشنگاری Bow Tie جهت ارزیابی خطر امنیت سایبری در انقلاب صنعتی چهارم». مدیریت مهندسی و رایانش نرم، دوره ۹ (۲). صص: ۱۷۶-۱۴۹.

<https://doi.org/>



© نویسنده گان.

ناشر: دانشگاه قم

(۱) مقدمه

امنیت سایبری جهت جلوگیری از فقدان رقابت‌پذیری شرکت‌ها در زمینه انقلاب صنعتی چهارم، نقشی اساسی ایفا می‌کند. در واقع امروزه تجهیزات صنعتی در برابر حملات سایبری آسیب‌پذیر هستند که این امر می‌تواند کل مدل کسب و کار را تحت تاثیر قرار دهد. طبق گزارش‌های سالانه امنیت سایبری سیسکو در سال ۲۰۱۸ (سیسکو، ۲۰۱۸) ۳۱ درصد از سازمان‌ها، حملات سایبری به فناوری عملیاتی را تجربه کرده‌اند. در حالیکه ۳۸ درصد انتظار دارند حملات از فناوری اطلاعات به فناوری عملیاتی گسترش یابد. اگرچه امنیت سایبری از سوی ۷۵ درصد کارشناسان به عنوان یک اولویت تلقی می‌شود، تنها ۱۶ درصد تایید می‌کنند که شرکت آنها به خوبی برای رویارویی با چالش‌های امنیت سایبری آماده است (لتزی، لازوی و کرالو، ۲۰۱۸). از طرفی تعداد فزاینده‌ای از شرکت‌ها با تجهیز به اینترنت، در جهت بهبود کارآیی و اثربخشی به پارادایم انقلاب صنعتی چهارم که به عنوان اینترنت صنعتی اشیا یا اینترنت صنعتی نیز شناخته می‌شود، گام برمی‌دارند. درنتیجه در صنایع مجهز به اینترنت، مسائل امنیت سایبری از جمله خطرهای آن، یکی از مهمترین چالش‌هایی است که باید مورد ارزیابی قرار گیرد.

روش FMEA یکی از معروف‌ترین روش‌های شناسایی و ارزیابی حالات خرابی و خطرهای است. FMEA یک رویکرد سیستماتیک بر پایه تیمی از خبرگان و پیشگیری قبل از وقوع است (جعفرزاده قوشچی، معمارپور غیاثی، رهنماه بناب و رنجبرزاده، ۲۰۲۲). در اغلب تحقیقاتی که از روش FMEA استفاده شده است، شناسایی موانع و خطرها براساس شاخص سنتی RPN انجام شده است. این در حالی است که این شاخص دارای کاستی‌هایی است. به عنوان مثال: عدم درنظر گرفتن اهمیت نسبی میان فاکتورها از مهمترین کاستی‌های این روش است (گول و آک، ۲۰۲۱). همچنین به دلیل کنشی‌بودن و تیمی‌بودن روش FMEA، میزان عوامل تعیین کننده RPN را اغلب نمی‌توان به صورت قطعی درنظر گرفت (قوشچی، یوسفی و خزائیلی، ۲۰۱۹؛ جعفرزاده قوشچی، شفیعی حق‌شناس، معمارپور غیاثی، گویدو و ویتاله، ۲۰۲۲). بنابراین جهت دستیابی به نتایج قابل اطمینان در برابر نظرات خبرگان، نیاز است تا اولویت‌بندی خطرها با درنظر گرفتن اهمیت نسبی میان فاکتورهای ارزیابی و با توجه به عدم قطعیت موجود در این فاکتورها انجام شود. علاوه بر استفاده از مدل FMEA، ارزیابی خطرهای بحرانی با استفاده از روش Bow Tie برای توصیف علل، اقدامات پیشگیرانه، پیامدها و اقدامات کاهش‌دهنده انجام می‌شود (آمبراواتی، یولیاستری و سولیستیواتی، ۲۰۲۲؛ مولکاهی، بویلان، سیگمن و استوارت، ۲۰۱۷؛ ویکو، پانایتسکو، پانایتسکو، دومیترسکو و تورف، ۲۰۱۸).

هدف اصلی این پژوهش شناسایی و اولویت‌بندی خطرهای امنیت سایبری در انقلاب صنعتی چهارم با ارائه یک رویکرد جدید جهت پوشش برخی از کاستی‌های مدل FMEA سنتی می‌باشد. این رویکرد برای اولین بار، براساس ترکیب روش توسعه‌یافته FMEA مبتنی بر روش Fuzzy PIPRECIA (F-PIPRECIA) جهت وزن‌دهی به معیارها و روش Z-number EDAS (EDAS) جهت اولویت‌بندی خطرها با روش Bow Tie ارائه می‌گردد. در این رویکرد با بکارگیری تئوری اعداد Z، سعی بر آن است عدم قطعیت و قابلیت اطمینان در عوامل تعیین کننده RPN درنظر گرفته شود. لازم به ذکر است اولویت‌بندی خطرها براساس امتیاز حاصل از رویکرد پیشنهادی به صورتی است که خطر با امتیاز بالاتر، در اولویت اول رسیدگی قرار خواهد گرفت. سپس علل، اقدامات پیشگیرانه، پیامدها و اقدامات

کاهش دهنده برای خطرهای دارای اولویت (بحرانی) با استفاده از تحلیل Bow Tie، شناسایی می‌شوند. جهت ارزیابی قابلیت رویکرد پیشنهادی، اولویت‌بندی خطرهای امنیت سایبری در انقلاب صنعتی چهارم توسط نتایج پیاده‌سازی رویکرد پیشنهادی حاصل از مدل توسعه یافته FMEA مبتنی بر روش‌های F-PIPRECIA و Z-EDAS در مقایسه با برخی از روش‌های مرسوم ارائه شده است.

۲) ادبیات پیشین

۱-۲) انقلاب صنعتی چهارم

ظرفداران انقلاب صنعتی چهارم در حال ایجاد یک محیط تولید هوشمند هستند (غیاثی و قوشچی، ۲۰۲۳؛ واکانما، اسلام، محارانی، لی و کیم، ۲۰۲۱) و اینترنت اشیا را می‌توان یک پارادایم در این زمینه با پتانسیل تکنولوژیکی بسیار بالا در نظر گرفت. وجود اشیا مختلف که به صورت هوشمند با یکدیگر ارتباط برقرار می‌کنند و حجم زیادی از اطلاعات را انتقال می‌دهند، باعث ایجاد خطرات امنیتی می‌شوند و امنیت سایبری را به موضوع بسیار مرتبط با انقلاب صنعتی چهارم تبدیل می‌کنند (کرالو، لازوی و لتزی، ۲۰۲۰). با درنظر گرفتن این که پیاده‌سازی تکنولوژی اینترنت اشیا در تولید هوشمند، حجم زیادی از اطلاعات را تولید و به اشتراک می‌گذارد، اگر این سیستم آسیب ببیند، می‌تواند منجر به توقف تولید شود. با رشد استفاده از اینترنت اشیا، تخمین زده می‌شود که ترافیک اینترنت تا سال ۲۰۲۲ حدود ۴۵ درصد خواهد بود (الفقهاء، گویزانی، محمدی، الادهاری و ایاش، ۲۰۱۵؛ بلدا، متتوث، بلوم و تنتی، ۲۰۱۷). در فرآیندهای ساخت و تولید که توسط سیستم‌های هوشمند انجام می‌شود، مراحل از طراحی تا تولید را می‌توان از هر جایی کنترل و مدیریت کرد (بهرين، عثمان، عزلی و طالب، ۲۰۱۶). فلات، شرینگل، جسپرنیت، رسک و آدامزیک (۲۰۱۶) نمونه‌هایی از عملیات در انقلاب صنعتی چهارم مانند نظارت بر تولید هوشمند، تجزیه و تحلیل تولید و بهینه‌سازی تولید را معرفی می‌کنند. تغییرات برجسته‌ای که توسط انقلاب صنعتی چهارم تعریف شده است، پارادایم‌های مدیریتی جدیدی را ایجاد کرده است که جنبه‌های مختلف یک سازمان مانند پایداری (آردانزا، مورنو، سگورا، دلاکروز و آگویناگا، ۲۰۱۹)، منابع انسانی (جیمز، ۲۰۲۲) و مدیریت زنجیره تامین قگه، ارکارا، مرادلو و گسوامی، (۲۰۲۰) را شامل می‌شود.

۲-۲) خطرهای امنیت سایبری

توصیف خطرهای امنیت سایبری در سازمان‌ها می‌تواند راه حلی کلیدی برای کمک به آنها برای درک مفهوم اصلی امنیت سایبری باشد. طبق (رناد و ویر، ۲۰۱۶)، دارایی‌های سازمان‌ها معمولاً در معرض تهدید حملات سایبری مانند دستکاری داده‌ها، جعل داده‌ها و امتناع از دسترسی به داده‌ها هستند که ممکن است بر چندین مورد از فعالیت‌های کسب و کار تاثیر منفی بگذارد. با این حال، بسیاری از نشانه‌ها حاکی از این است که سازمان‌ها تهدیدات سایبری را دست کم می‌گیرند و از استفاده اقدامات امنیتی کارآمد، امتناع می‌کنند (رناد و ویر، ۲۰۱۶). اکثر کارشناسان اعتراف کرده‌اند که جرایم سایبری بزرگترین تهدید برای هر شرکتی خواهد بود در حالیکه شرکت‌های کوچک و متوسط معتقدند که به دلیل اندازه خود، آسیب پذیر نیستند (بارلت، گاندولف و جاون، ۲۰۱۷). علاوه بر این، برآورد هزینه جرایم سایبری به دلیل برخی از حوادث سایبری که هنوز اعلام نشده‌اند یا هنوز نامنئی هستند، یک چالش مهم در نظر گرفته می‌شود (بری و بری، ۲۰۱۸). اخیرا

گزارش‌های رسمی نشان می‌دهند که شرکت‌های کوچک و متوسط به ارزشمندترین هدف برای حملات سایبری تبدیل شده‌اند. دلیل اصلی در بیشتر موارد، تکنیک‌های دفاعی ضعیفی است که توسط این سازمان‌ها در مقایسه با شرکت‌های بزرگ استفاده می‌شود. این تکنیک‌های ضعیف شامل تخصص کمتر، برونو سپاری ناشناخته و روش‌های امنیتی قدیمی می‌شود (بارلت و همکاران، ۲۰۱۷). حبیور رحمان، سون و شفائی (۲۰۲۳) یک رویکرد تئوری گراف را برای مدل‌سازی و ارزیابی خطر امنیت سایبری برای سیستم‌های تولید هوشمند پیشنهاد کرده‌اند. بیتون (۲۰۲۳) چارچوبی جهت تجزیه و تحلیل AHP تهدیدات امنیت سایبری در سیستم‌های مبتنی بر یادگیری ماشین معرفی کرده‌اند. همچنین در این پژوهش، از روش FMEA برای ارزیابی خطر امنیت سایبری در یک سیستم ضبط کننده داده‌های سفر دریابی به منظور شناسایی آسیب‌پذیری‌ها و حملات سایبری خاصی که ممکن است علیه این سیستم انجام شود، استفاده کرده‌اند. سوکومار، مهدیرایی و جعفری-صادقی (۲۰۲۳) به منظور ارزیابی خطرات سایبری در خرده‌فروشی‌های آنلاین، از یک رویکرد یکپارچه براساس روش‌های SWARA و BWM استفاده کرده‌اند.

(۳) روش‌های تصمیم‌گیری چند معیاره Bowtie و FMEA

به عنوان یک حوزه شناخته شده از تحقیقات، روش‌های تصمیم‌گیری چندمعیاره (MCDM) به طور گسترده توسط محققان برای بهبود عملکرد FMEA مورد استفاده قرار گرفته‌اند و به عنوان ابزاری ارزشمند در بهبود کاستی‌های مربوط به روش RPN مرسوم در نظر گرفته شده‌اند (قوشچی و همکاران، ۲۰۲۲؛ قوشچی و همکاران، ۲۰۱۹). آگویرا، پرز-دمینیگر، لوویانو-کروز و کردو-دیاز (۲۰۲۳) یک روش FMEA اصلاح شده مبتنی بر روش AHP و تحلیل بعدی (DA) جهت ارزیابی خطرهای توسعه محصول جدید ارائه کردند. کوماری، احمد، خان و احمد (۲۰۲۳) از یک مدل FMEA توسعه یافته استفاده از روش‌های تصمیم‌گیری چندمعیاره استفاده کرد. این رویکرد براساس روش‌های AHP و Fuzzy TOPSIS و Fuzzy AHP جهت ارزیابی حالات خرابی تصفیه‌خانه‌های پساب در مناطق نیمه گرمسیری ارائه شده است. جعفرزاده قوشچی، شفیعی حق‌شناس MARCOS و SWARA (۲۰۲۲) یک رویکرد یکپارچه ارزیابی خطر براساس مدل FMEA مبتنی بر روش‌های SWARA و همکاران (۲۰۲۲) در شرایط عدم قطعیت ارائه کردند. این رویکرد در ارزیابی خطرهای ایمنی جاده‌های روتاستی در کشور ایتالیا پیاده‌سازی شده است. جین، منگ و فنگ (۲۰۲۲) از روش Fuzzy AHP براساس روش FMEA برای تجزیه و تحلیل حالات شکست سیستم لجستیک در همه گیری COVID-19 استفاده کرد. در این مقاله دوازده حالت خرابی شناسایی شده است و اقدامات پیشگیرانه و اصلاحی مربوطه جهت کاهش تاثیر خرابی‌ها توصیه شده است. غیاثی و قوشچی (۲۰۲۲) یک مدل FMEA توسعه یافته مبتنی بر روش‌های تصمیم‌گیری چندمعیاره جهت ارزیابی موانع پیاده‌سازی سیستم‌های اقتصاد چرخشی مبتنی بر اینترنت اشیا ارائه کردند. در این رویکرد از روش‌های SWARA و MOORA در شرایط عدم قطعیت جهت پوشش برخی کاستی‌های مدل FMEA ستی استفاده شده است. بیازیت و کپتن (۲۰۲۳) جهت ارزیابی خطرهای آلودگی دریایی از روش شبکه بیزین فازی مبتنی بر تحلیل Bow Tie استفاده کردند. کاظمی، عباسی، کاظمی، جمشیدزاده و رشیدی

(۲۰۲۱) از رویکرد تلفیقی Bow Tie و FMEA جهت بررسی خطرهای موجود در ۱۸ واحد مختلف پالایشگاه گاز ایلام استفاده کردند.

۴) شکاف تحقیقاتی

در بخش مرور ادبیات، مفاهیم مربوط به انقلاب صنعتی چهارم، خطرهای امنیت سایبری، و همچنین مقالات مربوط به توسعه مدل FMEA براساس روش‌های تصمیم‌گیری چند معیاره و روش Bow Tie مورد بررسی قرار گرفته است. اگرچه مقالاتی در حوزه امنیت سایبری در انقلاب صنعتی چهارم منتشر شده است اما تعداد کمی از آنها بر روی خطرهای امنیت سایبری متوجه است. از این رو، فقدان تحقیق برای ارائه راهکارهایی جهت شناسایی و اولویت‌بندی این خطرها احساس می‌شود. همچنین با بررسی مقالات موجود مبتنی بر روش FMEA، کمبود مدل FMEA توسعه یافته که علاوه بر عدم قطعیت، قابلیت اطمینان را نیز مورد بررسی قرار دهد، احساس می‌شود. درنتیجه مطالعه حاضر برای اولین‌بار به ارائه یک مدل ترکیبی FMEA توسعه یافته براساس روش‌های تصمیم‌گیری چندمعیاره Fuzzy PIPRECIA و Z-EDAS با روش Bow Tie جهت شناسایی و اولویت‌بندی خطرهای امنیت سایبری در انقلاب صنعتی چهارم می‌پردازد. برخی از نوآوری‌های مطالعه حاضر عبارتند از:

- ارائه یک مدل ترکیبی از روش توسعه یافته FMEA بر پایه روش‌های Fuzzy PIPRECIA و Z-EDAS با روش Bow Tie
- درنظر گرفتن قابلیت اطمینان در کنار عدم قطعیت به واسطه تئوری اعداد Z در مدل یکپارچه پیشنهادی.
- درنظر گرفتن هزینه به عنوان یک شاخص مهم مدیریتی در کنار معیارهای روش FMEA (شدت، وقوع و احتمال کشف).

- استفاده از رویکرد PIPRECIA Fuzzy جهت ارزیابی اهمیت نسبی معیارها.

- مقایسه رویکرد پیشنهادی با برخی رویکردهای موجود در ادبیات جهت اعتبارسنجی مدل.

۵) روش‌ها

۱-۵) روش Fuzzy PIPRECIA

روش PIPRECIA برای اولین‌بار در سال ۲۰۱۷ ارائه شده است (ستانوجیک، زاودسکاس، کاراباسویچ، مارانداچ و تورسکیس، ۲۰۱۷). در ادامه گام‌های مربوط به روش توسعه یافته PIPRECIA در محیط فازی ارائه شده است.

گام ۱) تشکیل مجموعه معیارها جهت ارزیابی و تشکیل یک تیم تصمیم‌گیری

گام ۲) برای تعیین اهمیت نسبی معیارها، هر تصمیم‌گیرنده به طور جداگانه معیارهای از پیش مرتب شده را با شروع از معیار دوم ارزیابی می‌کند مانند رابطه (۱).

$$\bar{S}_j = \begin{cases} > \bar{1} & \text{if } C_j > C_{j-1} \\ = \bar{1} & \text{if } C_j = C_{j-1} \\ < \bar{1} & \text{if } C_j < C_{j-1} \end{cases} \quad (\text{رابطه ۱})$$

که در اینجا \bar{S}_j^r نشان‌دهنده ارزیابی انجام‌شده توسط تصمیم گیرنده r است.
برای به دست آوردن یک ماتریس \bar{R} لازم است میانگین‌گیری انجام شود.
ماتریس \bar{R} با استفاده از میانگین هندسی به یک ماتریس تبدیل می‌شود. تصمیم گیرنده‌گان با اعمال مقیاس‌های تعریف شده در جداول ۱ و ۲ معیارها را ارزیابی می‌کنند.

جدول ۱. ارزیابی معیارها براساس مقیاس ۲-۱

DFV	u	m	l		
1.008	1.050	1.000	1.000	1	مقیاس ۲-۱
1.150	1.200	1.150	1.100	2	
1.292	1.350	1.300	1.200	3	
1.433	1.500	1.450	1.300	4	
1.575	1.650	1.600	1.400	5	
1.717	1.800	1.750	1.500	6	
1.858	1.950	1.900	1.600	7	

جدول ۲. ارزیابی معیارها براساس مقیاس ۱-۰

	l	m	u	DFV		
مقیاس ۱-۰	0.667	1.000	1.000	0.944	SLS	کمی کم اهمیت‌تر
	0.500	0.667	1.000	0.694	MLS	نسبتاً کمتر با اهمیت
	0.400	0.500	0.667	0.511	LS	کم اهمیت‌تر
	0.333	0.400	0.500	0.406	RLS	واقعاً کم اهمیت‌تر
	0.286	0.333	0.400	0.337	MULS	بسیار کم اهمیت‌تر
	0.250	0.286	0.333	0.288	DLS	به‌طور غالباً کم اهمیت‌تر
	0.222	0.250	0.286	0.251	ALS	کاملاً کم اهمیت‌تر

گام ۳) تعیین ضریب \bar{k}_j

(۲) رابطه

$$\bar{k}_j = \begin{cases} = \bar{l} & if \ j = 1 \\ 2 - \bar{s}_j & if \ j > 1 \end{cases}$$

گام ۴) تعیین وزن فازی

(۳) رابطه

$$\bar{q}_j = \begin{cases} = \bar{l} & if \ j = 1 \\ \frac{\bar{q}_{j-1}}{\bar{k}_j} & if \ j > 1 \end{cases}$$

گام ۵) تعیین وزن نسبی معیار

$$\bar{w}_j = \frac{\bar{q}_j}{\sum_{j=1}^n \bar{q}_j} \quad \text{رابطه ۴}$$

در مراحل زیر معکوس روش PIPRECIA فازی پیاده سازی می شود:

گام ۶) برای تعیین اهمیت نسبی معیارها، هر تصمیم گیرنده به طور جداگانه معیارهای از پیش مرتب شده را با شروع از معیار ماقبل آخر ارزیابی می کند.

$$\bar{s}_j' = \begin{cases} > \bar{1} & \text{if } C_j > C_{j+1} \\ = \bar{1} & \text{if } C_j = C_{j+1} \\ < \bar{1} & \text{if } C_j < C_{j+1} \end{cases} \quad \text{رابطه ۵}$$

مجددتاً ماتریس \bar{s}_j' با استفاده از میانگین هندسی بدست می آید.

گام ۷) تعیین ضریب \bar{k}_j'

$$\bar{k}_j' = \begin{cases} = \bar{1} & \text{if } j = n \\ 2 - \bar{s}_j & \text{if } j > n \end{cases} \quad \text{رابطه ۶}$$

که در اینجا n تعداد کل معیارها می باشد.

گام ۸) تعیین وزن فازی \bar{q}_j'

$$\bar{q}_j' = \begin{cases} = \bar{1} & \text{if } j = n \\ \frac{\bar{q}_{j+1}}{\bar{k}_j} & \text{if } j > n \end{cases} \quad \text{رابطه ۷}$$

گام ۹) تعیین وزن نسبی معیار

$$\bar{w}_j' = \frac{\bar{q}_j'}{\sum_{j=1}^n \bar{q}_j'} \quad \text{رابطه ۸}$$

گام ۱۰) تعیین وزن نهایی

$$\bar{w}_j'' = \frac{1}{2} (\bar{w}_j + \bar{w}_j') \quad \text{رابطه ۹}$$

Z-number EDAS (۲-۵) روش

روش EDAS در سال ۲۰۱۵ ارائه شده است (کشاورز قرابائی، زاوادسکاس، الفت و تورسکیس، ۲۰۱۵). در ادامه گام های مربوط به روش توسعه یافته EDAS بر اساس تئوری اعداد Z ارائه شده است.

گام ۱) تشکیل ماتریس تصمیم با استفاده از متغیرهای زبانی Z
با توجه به متغیرهای زیانی ارائه شده در جدول ۳ هر یک از گزینه‌ها با توجه به معیارهای مورد بررسی، مقداردهی می‌شوند.

جدول ۳. تبدیل متغیرهای زبانی مربوط به اعداد Z به اعداد فازی مثلثی

متغیرهای زبانی	تابع عضویت			متغیرهای زبانی	تابع عضویت		
	I	m	u		I	m	u
VH,VH	8.54	9.49	9.49	VH,H	7.53	8.37	8.37
VH,M	6.36	7.07	7.07	VH,L	4.93	5.48	5.48
VH,VL	2.85	3.16	3.16	H,VH	6.64	8.54	9.49
H,H	5.86	7.53	8.37	H,M	4.95	6.36	7.07
H,L	3.84	4.93	5.48	H,VL	2.21	2.85	3.16
MH,VH	4.74	6.64	8.54	MH,H	4.18	5.86	7.53
MH,M	3.54	4.95	6.36	MH,L	2.74	3.84	4.93
MH,VL	1.58	2.21	2.85	M,VH	2.85	4.74	6.64
M,H	2.51	4.28	5.86	M,M	2.12	3.54	4.95
M,L	1.64	2.74	3.83	M,VL	0.95	1.58	2.21
ML,VH	0.95	2.85	4.74	ML,H	0.84	2.51	4.18
ML,M	0.71	2.12	3.54	ML,L	0.55	1.64	2.74
ML,VL	0.32	0.95	1.58	L,VH	0	0.95	2.85
L,H	0	0.84	2.51	L,M	0	0.71	2.12
L,L	0	0.55	1.64	L,VL	0	0.32	0.95
VL,VH	0	0	0.95	VL,H	0	0	0.84
VL,M	0	0	0.71	VL,L	0	0	0.55
VL,VL	0	0	0.32				

گام ۲) تشکیل ماتریس تصمیم گیری
متغیرهای زیانی ارائه شده در گام قبل با استفاده از جدول ۳ به اعداد فازی مثلثی تبدیل می‌شوند. ماتریس تصمیم مجموع β به صورت رابطه (۱۰) نمایش داده می‌شود.

$$\left[\begin{array}{cccc} (x_{11}^l, x_{11}^m, x_{11}^u) & \cdots & (x_{12}^l, x_{12}^m, x_{12}^u) & \cdots & (x_{1n}^l, x_{1n}^m, x_{1n}^u) \\ \cdots & \cdots & \cdots & \cdots & \cdots \\ \cdots & \cdots & \cdots & \cdots & \cdots \\ (x_{m1}^l, x_{m1}^m, x_{m1}^u) & \cdots & (x_{m2}^l, x_{m2}^m, x_{m2}^u) & \cdots & (x_{mn}^l, x_{mn}^m, x_{mn}^u) \end{array} \right] \beta = \quad \text{رابطه (۱۰)}$$

که در آن m تعداد گزینه‌ها، n تعداد معیارها، x_{mn} نشان‌دهنده ترجیح گزینه ۱ام در معیار z است.
گام ۳) تشکیل ماتریس تصمیم گیری متوسط
متغیرهای زیانی ارائه شده در گام قبل با استفاده از جدول ۳ به اعداد فازی مثلثی تبدیل می‌شوند. ماتریس تصمیم مجموع β به صورت رابطه (۱۰) نمایش داده می‌شود.

$$\tilde{x}_{ij} = \frac{1}{k} \bigoplus_{p=1}^k \tilde{x}_{ij}^p \quad \text{رابطه (۱۱)}$$

که در آن \tilde{x}_{ij}^p نشان‌گر عملکرد گزینه ۱ام با توجه به معیار z از دیدگاه تصمیم گیرنده p ام از میان k تصمیم گیرنده می‌باشد.
گام ۴) نرمال کردن ماتریس تصمیم گیری

جهت بی مقیاس سازی ماتریس تصمیم از روابط زیر استفاده می‌شود.

$$AV = [\widetilde{av}_{ij}]_{1 \times m} \quad \text{رابطه (۱۲)}$$

$$\widetilde{av}_j = \frac{1}{n} \bigoplus_{i=1}^n \widetilde{x}_{ij} \quad \text{رابطه (۱۳)}$$

که در آن عناصر \widetilde{av}_j نشانگر مقادیر متوسط با توجه به هر معیار است.

گام (۵) محاسبه ماتریس‌های NDA و PDA

در این مرحله ماتریس‌های فاصله مثبت از میانگین (PDA) و فاصله منفی از میانگین (NDA) با توجه به نوع معیار (سود (B) و هزینه (N)) با استفاده از روابط زیر محاسبه می‌شوند.

$$PDA = [\widetilde{pda}_{ij}]_{n \times m} \quad \text{رابطه (۱۴)}$$

$$NDA = [\widetilde{nida}_{ij}]_{n \times m} \quad \text{رابطه (۱۵)}$$

$$\widetilde{pda}_{ij} = \begin{cases} \frac{\Psi(\widetilde{x}_{ij} \ominus \widetilde{av}_j)}{k(\widetilde{av}_j)} & \text{if } j \in B \\ \frac{\Psi(\widetilde{av}_j \ominus \widetilde{x}_{ij})}{k(\widetilde{av}_j)} & \text{if } j \in N \end{cases} \quad \text{رابطه (۱۶)}$$

$$\widetilde{nida}_{ij} = \begin{cases} \frac{\Psi(\widetilde{av}_j \ominus \widetilde{x}_{ij})}{k(\widetilde{av}_j)} & \text{if } j \in B \\ \frac{\Psi(\widetilde{x}_{ij} \ominus \widetilde{av}_j)}{k(\widetilde{av}_j)} & \text{if } j \in N \end{cases} \quad \text{رابطه (۱۷)}$$

گام (۶) محاسبه فواصل مثبت و منفی موزون برای همه گزینه‌ها

$$\widetilde{sp}_i = \bigoplus_{j=1}^m (\widetilde{w}_j \otimes \widetilde{pda}_{ij}) \quad \text{رابطه (۱۸)}$$

$$\widetilde{sn}_i = \bigoplus_{j=1}^m (\widetilde{w}_j \otimes \widetilde{nida}_{ij}) \quad \text{رابطه (۱۹)}$$

گام (۷) نرمال‌سازی مقادیر (\tilde{sp}_i) و (\tilde{sn}_i) برای همه گزینه‌ها

$$\widetilde{nsp}_i = \frac{\widetilde{sp}_i}{\max_i(k(\widetilde{sp}_i))} \quad \text{رابطه (۲۰)}$$

$$\widetilde{nfn}_i = 1 - \frac{\widetilde{sn}_i}{\max_i(k(\widetilde{sn}_i))} \quad \text{رابطه (۲۱)}$$

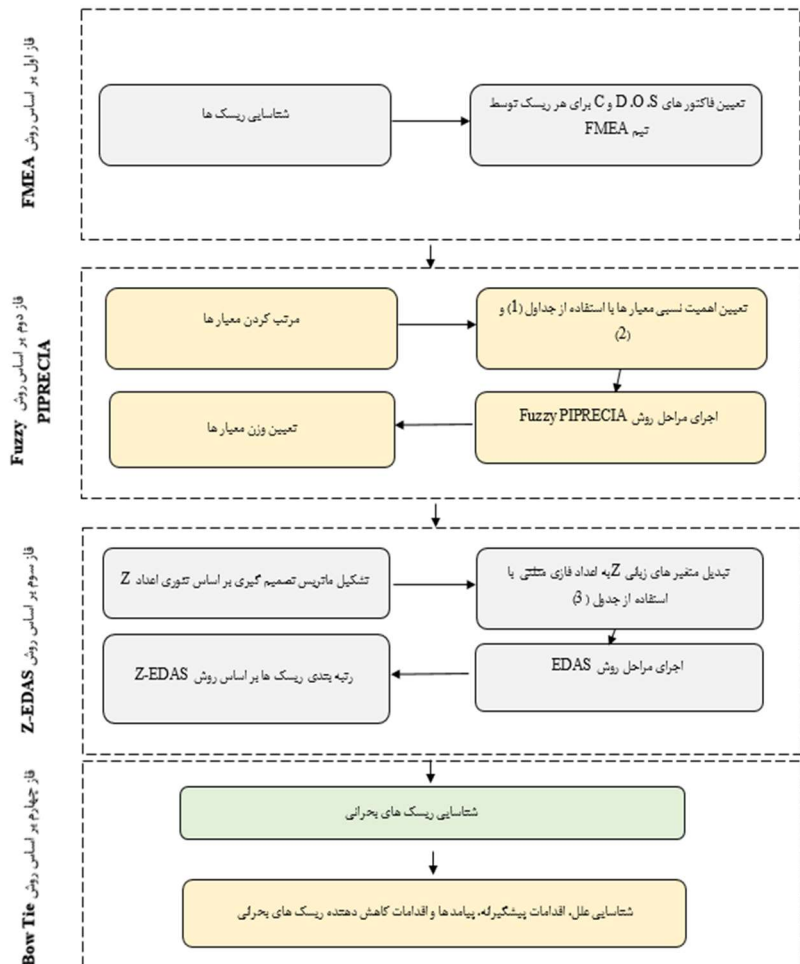
گام (۸) محاسبه امتیاز ارزیابی (\tilde{as}_i) برای همه گزینه‌ها

$$\widetilde{as}_i = \frac{1}{2} (\widetilde{nsp}_i \oplus \widetilde{nfn}_i) \quad \text{رابطه (۲۲)}$$

گام ۹) رتبه‌بندی گزینه‌ها به صورت نزولی براساس مقدار \widetilde{AS}_i

۶) رویکرد پیشنهادی

در این بخش، رویکرد پیشنهادی این تحقیق با بهره‌گیری از روش‌های FMEA، PIPRECIA Fuzzy، Z-EDAS و Bow Tie برای ارزیابی و اولویت‌بندی خطرها ارائه می‌گردد. رویکرد پیشنهادی در چهار فاز ارائه می‌گردد. در فاز اول این رویکرد ضمن شناسایی خطرها توسط تیم FMEA، مقادیر معیارهای چهارگانه نیز امتیازدهی می‌شوند. در این فاز قابلیت اطمینان هر کدام از خطرهای شناسایی شده، توسط تیم خبره تعیین می‌گردد. در فاز دوم، در راستای درنظر گرفتن اهمیت متفاوت به ازای معیارها از روش PIPRECIA Fuzzy استفاده می‌گردد به نحوی که پس از مرتب کردن معیارها با استفاده از متغیرهای کلامی، این متغیرها با استفاده از جداول ۱ و ۲ به اعداد فازی مثلثی تبدیل می‌گردد. در ادامه مراحل روش PIPRECIA با توجه به این مقادیر پیاده‌سازی شده و وزن هر معیار تعیین می‌گردد. در فاز سوم براساس خروجی‌های فاز اول و دوم سعی شده است اولویت‌بندی خطرهای شناسایی شده با توجه به وزن معیارها، با استفاده از روش Z-EDAS انجام گیرد. این روش برخلاف روش EDAS مرسوم، علاوه بر درنظر گرفتن مقادیر فازی، توانایی درنظر گرفتن قابلیت اطمینان برای هر معیار به ازای گزینه را دارد. در این روش پس از تعیین ماتریس تصمیم که درایه‌های آن متشکل از اعداد فازی و مقادیر قابلیت اطمینان (اعداد-Z) هستند، این مقادیر با استفاده از جدول ۳ به اعداد فازی مثلثی تبدیل می‌شوند سپس مراحل روش EDAS در محیط فازی اجرا می‌گردد. در فاز چهارم این رویکرد؛ علل، اقدامات پیشگیرانه، پیامدها و اقدامات کاهش‌دهنده برای خطرهای دارای اولویت‌های اول تا سوم براساس نتایج روش Z-EDAS به عنوان خطرهای بحرانی با استفاده از روش Tie Bow شناسایی می‌گردد. روند اجرایی رویکرد پیشنهادی در شکل ۱ نیز نمایش داده شده است.



شکل ۱. رویکرد پیشنهادی

(۷) مطالعه موردي و تحليل نتایج

در راستای بررسی قابلیت رویکرد پیشنهادی در این تحقیق، سعی بر آن است که اولویت‌بندی خطرها، خطرهای امنیت سایبری در انقلاب صنعتی چهارم با استفاده از این رویکرد صورت پذیرد. فهرست ۱۶ خطر شناسایی شده ناشی از روش FMEA در جدول ۴ ارائه شده است.

جدول ۴. خطرها پیاده‌سازی لجستیک هوشمند

نیاز	عنوان خطر	منبع
R1	دستکاری و یا جعل داده‌ها	Khalid et al., 2018; Preuveneers, Joosen, & Ilie-Zudor, (2017b; Xu, He, Wang, Susilo, & Jin, 2017)
R2	حمله عدم پذیرش سرویس (DoS) با استفاده از ترافیک حجمی	Cheminod et al., 2017; Corbò, Foglietta, Palazzo, & Panzieri, 2018; Hassanzadeh, Modi, & Mulchandani, 2015; Kobara, 2016; Lee, Lee, Yoo, Kwon, & Shon, 2018; Preuveneers, Joosen, & Ilie-Zudor, 2017a; Preuveneers et Liu, 2017; & ,al., 2017b; Ren, Wu, Zhang, Terpenny (Urquhart & McAuley, 2018)
R3	استراق سمع شبکه	(Sukumar et al., 2023)
R4	اعطای امتیاز خاص	(Kobara, 2016; Preuveneers et al., 2017a, 2017b)

نیاز	عنوان خطر	منبع
R5	انتقال داده‌ها از/به دستگاه‌های غیرمجاز	Dieber et al., 2017; Januário, Carvalho, Cardoso, & Gil, (2016; Lee et al., 2018; Preuveeneers et al., 2017b)
R6	آلودگی به بدافزارها و ویروس‌ها (به صورت تصادفی یا عمدی)	Benias & Markopoulos, 2017; Hassanzadeh et al., 2015; (Khalid et al., 2018; Urquhart & McAuley, 2018)
R7	الای عملیات غیرعادی با استفاده از کد عملکرد غیرعادی پروتکل شبکه توزیع شده (DNP3)	(Lee et al., 2018)
R8	حملات روز صفر	(Kobara, 2016; Ren et al., 2017)
R9	پارازیت، تکرار گره و مسیریابی نادرست اطلاعات	(Januário et al., 2016)
R10	آلودگی دادگان هوش مصنوعی	(Sukumar et al., 2023)
R11	حملات مهندسی اجتماعی	(Urquhart & McAuley, 2018)
R12	حملات انکار	(Preuveeneers et al., 2017a, 2017b)
R13	تخربی‌های فیزیکی	(Khalid et al., 2018; Xu et al., 2017)
R14	حملات خودی و رفتارهای ناخواسته	(Khalid et al., 2018; Urquhart & McAuley, 2018)
R15	تهدید پایدار پیشرفته (APT)	(Hassanzadeh et al., 2015; Urquhart & McAuley, 2018)
R16	حملات فیشینگ	Hassanzadeh et al., 2015; Ren et al., 2017; Urquhart & (McAuley, 2018; van Lier, 2017)

در این بخش نتایج حاصل از پیاده‌سازی رویکرد پیشنهادی در ارزیابی خطرهای امنیت سایبری در انقلاب صنعتی چهارم برسی می‌شود. ابتدا خطرهای موجود توسط تیم FMEA متشكل از خبرگان شناسایی شده و مقادیر شاخص‌های چهارگانه (شدت (S)، وقوع (O)، احتمال کشف (D) و هزینه (C) به ازای هر خطر توسط تیم FMEA تعیین می‌گردد (جدول ۵ مشاهده شود). سپس با توجه به عدم قطعیت و همچنین عدم اطمینان در این فاکتورها از تئوری اعداد Z بهره گرفته می‌شود. تئوری اعداد Z علاوه بر درنظر گرفتن عدم قطعیت در معیارها، عدم قطعیت نظرات خبرگان را نیز مورد توجه قرار می‌دهد. مقادیر متغیرهای زبانی معیارهای چهارگانه به ازای خطرها با توجه به نظرات تیم FMEA در جدول ۵ ارائه شده است. سپس این مقادیر متغیرهای زبانی با استفاده از جدول ۳ به اعداد فازی مثلثی تبدیل می‌شوند.

جدول ۵. مقادیر شاخص‌ها به ازای استراتژی‌ها در قالب متغیرهای زبانی Z

	S			O			D			C		
Risk	DM1	DM2	DM3									
R1	VH,VL	MH,VL	MH,H	ML,VL	H,L	M,H	VH,M	MH,VL	H,L	M,H	M,M	VH,VL
R2	MH,H	VH,VL	ML,H	ML,H	ML,VL	MH,H	VH,VH	H,VL	MH,VL	MH,L	M,H	MH,H
R3	MH,H	VH,VL	L,H	VH,H	H,L	MH,VL	ML,H	ML,VL	L,VL	VH,H	ML,M	VH,H
R4	VL,H	VL,VL	M,H	ML,VL	MH,H	H,L	MH,VL	VH,H	VH,H	M,H	MH,L	MH,H
R5	MH,VH	VH,H	H,H	VH,M	H,VH	ML,VL	L,VH	M,M	VH,H	H,H	MH,VH	H,VL
R6	VH,M	VH,H	H,VL	H,VH	H,M	M,M	L,VL	H,L	MH,VL	H,H	ML,VL	
R7	MH,VH	M,H	ML,VL	VH,VL	VH,H	M,M	MH,VL	ML,H	H,L	H,H	MH,H	ML,VL
R8	M,VH	L,VL	ML,H	VH,VL	M,VH	MH,H	MH,VL	MH,L	L,VL	M,VL	ML,VL	ML,VH
R9	ML,VL	MH,L	L,L	H,M	H,M	M,M	MH,H	H,M	MH,L	L,VL	ML,M	L,VL
R10	ML,H	L,H	VL,VH	VH,H	VH,VH	ML,VL	VH,H	MH,VL	MH,VL	MH,L	MH,VH	M,M
R11	VH,M	VH,VH	H,L	VH,VH	H,VH	ML,VL	VL,VL	VL,VH	L,M	MH,VL	VH,VH	ML,M
R12	VL,H	M,H	MH,H	MH,H	VH,H	MH,VL	VL,VH	ML,H	ML,VL	MH,H	MH,H	MH,L
R13	MH,M	ML,VL	MH,H	L,M	MH,VL	MH,VL	L,H	VL,VL	ML,VL	MH,VL	VH,H	MH,L
R14	VL,M	VL,H	L,H	ML,M	VH,VL	MH,VL	L,H	M,L	L,VL	MH,VL	H,VL	VH,H
R15	VL,VL	ML,VL	VL,M	H,H	MH,M	H,VH	VH,VL	VL,VL	M,M	ML,VL	MH,VL	MH,VL
R16	ML,VH	VL,VH	MH,H	VH,VL	H,L	VH,M	ML,VL	ML,VL	MH,H	M,H	ML,VL	ML,M

در ادامه و براساس فاز دوم رویکرد پیشنهادی، وزن فاکتورها با استفاده از روش F-PIPRECIA تعیین می‌گردد.

جدول ۶. نگرش تیم خبرگان با استفاده از مقیاس زبانی برای PIPRECIA Fuzzy

PIPR.	S	O	D	C
DM1		واقع کم	کم	نسبتاً با
		اهمیت تر	اهمیت تر	
DM2		کم	کمی کم	بسیار با
		اهمیت تر	اهمیت تر	اهمیت تر
DM3	نسبتاً کمتر	واقع کم	با اهمیت تر	
	با اهمیت	با اهمیت تر		

جدول ۷. نگرش تیم خبرگان با استفاده از مقیاس زبانی برای PIPRECIA Fuzzy معکوس

PIPR-I	C	D	O	S
DM1		کم	کمی با	
		اهمیت تر	تقریباً برابر	اهمیت تر
DM2		بسیار کم	نسبتاً با	
		اهمیت تر	اهمیت تر	با اهمیت تر
DM3		واقع کم	به طور غالب	
		با اهمیت تر	با اهمیت تر	با اهمیت تر

در این مرحله، متغیرهای زبانی ارائه شده در جداول ۶ و ۷ با استفاده از جداول ۱ و ۲ به اعداد مثلثی تبدیل می‌شوند. در ادامه اعداد فازی مثلثی حاصل از نظر خبرگان در تعیین میران اهمیت معیارهای چهارگانه در جداول ۸ و ۹ ارائه شده است.

جدول ۸. نگرش تیم خبرگان براساس اعداد فازی مثلثی برای PIPRECIA Fuzzy

PIPR.	S			O			D			C		
	l	m	u	l	m	u	l	m	u	l	m	u
DM1		0.333	0.400	0.500	0.400	0.500	0.500	0.667	0.667	1.200	1.300	1.350
DM2		0.400	0.500	0.667	0.667	0.667	1.000	1.000	1.000	1.400	1.600	1.650
DM3		0.500	0.667	1.000	0.333	0.400	0.400	0.500	0.500	1.300	1.450	1.500

جدول ۹. نگرش تیم خبرگان با استفاده از مقیاس زبانی برای PIPRECIA Fuzzy معکوس

PIPR-I	C			D			O			S		
	l	m	u	l	m	u	l	m	u	l	m	u
DM1		0.400	0.500	0.667	1.000	1.000	1.000	1.050	1.050	1.100	1.150	1.200
DM2		0.286	0.333	0.400	1.200	1.300	1.350	1.300	1.300	1.400	1.450	1.500
DM3		0.333	0.400	0.500	1.500	1.750	1.800	1.300	1.300	1.400	1.450	1.500

جزئیات محاسبات روش PIPRECIA فازی در جدول ۱۰ آمده است.

جدول ۱۰. جزئیات محاسبات روش PIPRECIA Fuzzy

PIPRECIA	s_j			k_j			q_j			w_j			DF
	l	m	u	l	m	u	l	m	u	l	m	u	
S				1.000	1.000	1.000	1.000	1.000	1.000	0.276	0.325	0.381	0.326
O	0.411	0.522	0.722	1.278	1.478	1.589	0.629	0.677	0.783	0.174	0.220	0.298	0.225
D	0.467	0.633	0.722	1.278	1.367	1.533	0.410	0.495	0.613	0.113	0.161	0.233	0.165
C	1.300	1.450	1.500	0.500	0.550	0.700	0.586	0.900	1.225	0.162	0.293	0.467	0.300
Σ							2.626	3.072	3.620				

نتایج حاصل از پیاده‌سازی روش PIPRECIA Fuzzy معکوس در جدول ۱۱ آمده است.

جدول ۱۱. جزئیات محاسبات روش PIPRECIA Fuzzy معکوس

PIPRECIA-I	s'_j			k'_j			q'_j			w'_j			DF
	l	m	u	l	m	u	l	m	u	l	m	u	
S	1.233	1.350	1.400	0.600	0.650	0.767	1.025	1.490	1.880	0.283	0.485	0.716	0.490
O	1.233	1.350	1.400	0.600	0.650	0.767	0.786	0.968	1.128	0.217	0.315	0.430	0.318
D	0.340	0.411	0.522	1.478	1.589	1.660	0.602	0.629	0.677	0.166	0.205	0.258	0.207
C				1.000	1.000	1.000	1.000	1.000	1.000	0.276	0.325	0.381	0.326
Σ							3.413	4.087	4.684				

با توجه به جداول ۱۰ و ۱۱، وزن نهایی معیارهای شدت (S)، وقوع (O)، احتمال کشف (D) و هزینه (C) با استفاده از رابطه (۹) به ترتیب 0.408 ، 0.272 ، 0.186 و 0.313 آمده است. در فاز سوم رویکرد پیشنهادی و براساس نتایج فازهای اول و دوم، اولویت‌بندی خطرها با استفاده از روش توسعه‌یافته Z-EDAS انجام می‌پذیرد. در ابتدا ماتریس تصمیم‌گیری روش Z-EDAS در قالب درایه‌های اعداد Z تشکیل می‌شود به نحوی که سطرها نشانگر گزینه‌های مورد ارزیابی یا همان خطرها و ستون‌های این ماتریس نشانگر معیارهای ارزیابی یا همان فاکتورهای چهارگانه می‌باشد. بدین ترتیب متغیرهای زبانی ارائه شده در جدول ۵ با استفاده از جدول ۳ به مقادیر فازی مثلثی تبدیل می‌شوند. سپس نظرات خبرگان با استفاده از رابطه (۱۱) تجمعی می‌شود. جدول ۱۲ ماتریس تصمیم تجمعی شده را نشان می‌دهد.

جدول ۱۲. ماتریس تصمیم تجمعی شده

	S			O			D			C			DF
	l	m	u	l	m	u	l	m	u	l	m	u	
R1	2.870	3.743	4.513	2.223	3.387	4.307	3.927	4.737	5.133	2.493	3.660	4.657	
R2	2.623	3.843	4.957	1.780	3.107	4.430	4.110	4.850	5.167	3.143	4.660	6.107	
R3	2.343	3.287	4.400	4.317	5.170	5.567	0.387	1.260	2.237	5.257	6.287	6.760	
R4	0.837	1.427	2.340	2.780	3.913	4.863	5.547	6.317	6.530	3.143	4.660	6.107	
R5	6.600	7.793	8.427	6.287	7.713	8.310	0.813	1.813	3.127	4.990	6.037	6.530	
R6	5.367	6.097	6.200	4.570	6.147	7.170	1.987	2.930	3.793	2.587	3.563	4.267	
R7	2.523	3.957	5.327	4.167	5.023	5.493	2.087	3.217	4.170	3.453	4.780	5.827	

	S			O			D			C		
R8	1.230	2.523	3.923	3.293	4.587	5.777	1.440	2.123	2.910	0.740	1.793	2.843
R9	1.020	1.780	2.717	4.007	5.420	6.363	3.957	5.353	6.510	0.237	0.920	1.813
R10	0.280	1.117	2.547	5.463	6.270	6.480	3.563	4.263	4.690	3.200	4.673	6.140
R11	6.247	7.163	7.347	5.167	6.327	6.853	0.000	0.237	1.130	3.610	4.607	5.293
R12	2.230	3.380	4.743	4.430	5.480	6.250	0.387	1.153	2.237	3.700	5.187	6.663
R13	2.680	3.920	5.157	1.053	1.710	2.607	0.107	0.597	1.470	3.950	4.807	5.383
R14	0.000	0.280	1.353	1.713	2.497	3.183	0.547	1.300	2.430	3.773	4.477	4.793
R15	0.107	0.317	0.870	5.347	7.007	8.073	1.657	2.233	2.810	1.160	1.790	2.427
R16	1.710	2.903	4.407	4.350	5.053	5.237	1.607	2.587	3.563	1.180	2.450	3.660
AV	2.417	3.346	4.327	3.809	4.926	5.685	2.008	2.811	3.619	2.914	4.022	4.954

سپس بسته به نوع معیار، فاصله‌های مثبت (PDA) و فاصله‌های منفی (NDA) از میانگین محاسبه می‌شوند. مقادیر فاصله مثبت (PDA) با استفاده از رابطه (۱۶) جدول ۱۳ و مقادیر فاصله منفی (NDA) از میانگین با استفاده از رابطه (۱۷) به دست می‌آید (جدول ۱۴).

جدول ۱۳. مقادیر PDA

	S			O			D			C		
	I	m	u	I	m	u	I	m	u	I	m	u
R1	-0.433	0.118	0.623	0.000	0.000	0.000	0.000	0.000	0.000	0.000	0.000	0.000
R2	-0.506	0.148	0.755	0.000	0.000	0.000	0.000	0.000	0.000	-0.457	0.161	0.806
R3	0.000	0.000	0.000	-0.285	0.051	0.366	-0.081	0.551	1.149	0.076	0.571	0.971
R4	0.000	0.000	0.000	0.000	0.000	0.000	0.000	0.000	0.000	-0.457	0.161	0.806
R5	0.676	1.323	1.787	0.125	0.580	0.936	-0.398	0.355	0.998	0.009	0.508	0.912
R6	0.309	0.818	1.125	-0.232	0.254	0.699	0.000	0.000	0.000	0.000	0.000	0.000
R7	-0.536	0.182	0.865	-0.316	0.020	0.350	0.000	0.000	0.000	-0.379	0.191	0.735
R8	0.000	0.000	0.000	0.000	0.000	0.000	-0.321	0.244	0.775	0.000	0.000	0.000
R9	0.000	0.000	0.000	-0.349	0.103	0.531	0.000	0.000	0.000	0.000	0.000	0.000
R10	0.000	0.000	0.000	-0.046	0.280	0.556	0.000	0.000	0.000	-0.443	0.164	0.814
R11	0.571	1.135	1.466	-0.108	0.291	0.633	0.312	0.915	1.287	-0.339	0.148	0.600
R12	-0.623	0.010	0.692	-0.261	0.115	0.508	-0.081	0.589	1.149	-0.317	0.294	0.946
R13	-0.490	0.171	0.815	0.000	0.000	0.000	0.191	0.787	1.249	-0.253	0.198	0.623
R14	0.000	0.000	0.000	0.000	0.000	0.000	-0.150	0.537	1.092	-0.298	0.115	0.474
R15	0.000	0.000	0.000	-0.070	0.433	0.887	-0.285	0.205	0.698	0.000	0.000	0.000
R16	0.000	0.000	0.000	-0.278	0.027	0.297	-0.553	0.080	0.716	0.000	0.000	0.000

جدول ۱۴. مقادیر NDA

	S			O			D			C		
	I	m	u	I	m	u	I	m	u	I	m	u
R1	0.000	0.000	0.000	-0.104	0.320	0.720	0.109	0.685	1.111	-0.440	0.091	0.621
R2	0.000	0.000	0.000	-0.129	0.378	0.812	0.175	0.725	1.123	0.000	0.000	0.000
R3	-0.590	0.018	0.590	0.000	0.000	0.000	0.000	0.000	0.000	0.000	0.000	0.000
R4	0.023	0.571	1.038	-0.219	0.211	0.604	0.685	1.247	1.608	0.000	0.000	0.000
R5	0.000	0.000	0.000	0.000	0.000	0.000	0.000	0.000	0.000	0.000	0.000	0.000
R6	0.000	0.000	0.000	0.000	0.000	0.000	-0.580	0.042	0.635	-0.341	0.116	0.597

	S			O			D			C		
R7	0.000	0.000	0.000	0.000	0.000	0.000	-0.545	0.144	0.769	0.000	0.000	0.000
R8	-0.448	0.245	0.921	-0.409	0.071	0.498	0.000	0.000	0.000	0.018	0.562	1.063
R9	-0.089	0.466	0.983	0.000	0.000	0.000	0.120	0.904	1.601	0.278	0.783	1.190
R10	-0.039	0.663	1.203	0.000	0.000	0.000	-0.020	0.517	0.954	0.000	0.000	0.000
R11	0.000	0.000	0.000	0.000	0.000	0.000	0.000	0.000	0.000	0.000	0.000	0.000
R12	0.000	0.000	0.000	0.000	0.000	0.000	0.000	0.000	0.000	0.000	0.000	0.000
R13	0.000	0.000	0.250	0.669	0.964	0.000	0.000	0.000	0.000	0.000	0.000	0.000
R14	0.316	0.912	1.287	0.130	0.505	0.826	0.000	0.000	0.000	0.000	0.000	0.000
R15	0.460	0.901	1.255	0.000	0.000	0.000	0.000	0.000	0.000	0.123	0.563	0.957
R16	0.91	0.99	1.09	0.59	0.69	0.80	0.14	0.37	0.71	0.62	0.67	0.72

در ادامه گام‌های روشن Z-EDAS پیاده‌سازی می‌شود سپس امتیاز ارزیابی هر گزینه با استفاده از رابطه (۲۲) محاسبه و پس از فازی‌زدایی، در آخر رتبه‌بندی خطرها انجام می‌پذیرد (جدول ۱۵).

جدول ۱۵. مجموع فوائل وزن‌دارشده، مقادیر نرمال شده آنها و امتیازات گزینه‌ها

Risk	$\bar{s}p_i$			$\bar{s}n_i$			$\bar{n}sp_i$		
	I	m	u	I	m	u	I	m	u
R1	-0.177	0.048	0.254	-0.146	0.243	0.597	-0.203	0.055	0.292
R2	-0.350	0.111	0.561	-0.003	0.238	0.430	-0.401	0.127	0.643
R3	-0.069	0.296	0.617	-0.241	0.007	0.241	-0.079	0.339	0.708
R4	-0.143	0.050	0.252	0.077	0.522	0.887	-0.164	0.058	0.289
R5	0.239	0.923	1.455	0.000	0.000	0.000	0.274	1.058	1.669
R6	0.063	0.403	0.649	-0.215	0.044	0.305	0.072	0.462	0.744
R7	-0.423	0.140	0.679	-0.101	0.027	0.143	-0.485	0.160	0.778
R8	-0.060	0.046	0.144	-0.288	0.295	0.844	-0.069	0.052	0.165
R9	-0.095	0.028	0.144	0.073	0.604	1.072	-0.109	0.032	0.166
R10	-0.151	0.127	0.406	-0.019	0.367	0.669	-0.173	0.146	0.466
R11	0.156	0.759	1.198	0.000	0.000	0.000	0.178	0.870	1.374
R12	-0.440	0.237	0.931	0.000	0.000	0.000	-0.504	0.272	1.067
R13	-0.244	0.278	0.760	0.068	0.182	0.262	-0.279	0.319	0.872
R14	-0.121	0.136	0.352	0.164	0.509	0.750	-0.139	0.156	0.404
R15	-0.072	0.156	0.371	0.226	0.544	0.812	-0.083	0.179	0.425
R16	-0.178	0.022	0.214	-0.300	0.178	0.616	-0.205	0.025	0.245
R1	1.250	0.583	-0.024	0.524	0.319	0.134	0.325	10	
R2	1.004	0.592	0.263	0.302	0.360	0.453	0.371	8	
R3	1.413	0.988	0.587	0.667	0.663	0.648	0.659	4	
R4	0.867	0.104	-0.522	0.352	0.081	-0.116	0.105	15	
R5	1.000	1.000	1.000	0.637	1.029	1.334	1.000	1	
R6	1.369	0.924	0.476	0.721	0.693	0.610	0.675	3	
R7	1.174	0.954	0.754	0.344	0.557	0.766	0.556	6	
R8	1.495	0.494	-0.448	0.713	0.273	-0.141	0.282	12	
R9	0.875	-0.035	-0.840	0.383	-0.002	-0.337	0.015	16	
R10	1.033	0.371	-0.147	0.430	0.259	0.159	0.283	11	
R11	1.000	1.000	1.000	0.589	0.935	1.187	0.904	2	
R12	1.000	1.000	1.000	0.248	0.636	1.034	0.639	5	
R13	0.883	0.688	0.551	0.302	0.504	0.711	0.506	7	
R14	0.718	0.126	-0.286	0.289	0.141	0.059	0.163	13	
R15	0.612	0.067	-0.393	0.265	0.123	0.016	0.134	14	
R16	1.515	0.695	-0.057	0.655	0.360	0.094	0.370	9	

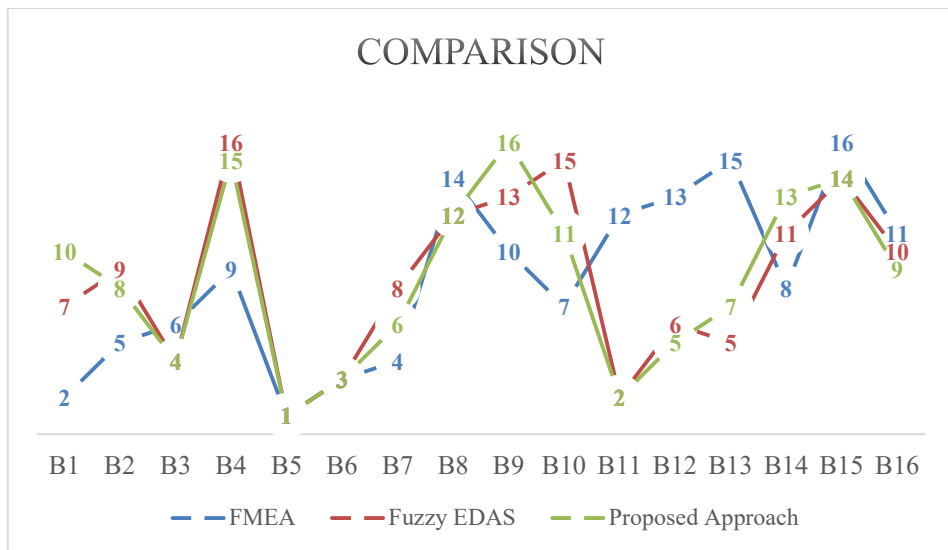
با توجه به جدول ۱۵ مشاهده می‌شود که براساس رویکرد پیشنهادی (FPIPRECIA-ZEDAS) خطرهای R5، R11 و R6 به ترتیب در اولویت‌های اول الی سوم قرار گرفته‌اند. به بیانی دیگر این خطرها به عنوان خطرهای بحرانی در نظر گرفته شده و نیازمند برنامه‌ریزی جهت اقدامات اصلاحی/پیشگیرانه می‌باشند. همچنین می‌توان نتیجه گرفت که خطر R9 در اولویت آخر قرار گرفته و در حال حاضر نیازی به اقدامات اصلاحی نمی‌باشد.

در ادامه جهت اعتبارسنجی و ارزیابی اثربخشی و قابلیت‌های رویکرد پیشنهادی، نتایج حاصل از این رویکرد با برخی روش‌های مرسوم از جمله FMEA و Fuzzy EDAS ستی مقایسه می‌شود. با توجه به جدول ۱۶ مشاهده می‌شود که براساس نتایج به دست آمده از هر سه روش، خطر R5 در اولویت اول رسیدگی قرار گرفته است. اما در اولویت دوم، اختلافاتی وجود دارد و براساس روش FMEA، خطر R1 در اولویت دوم قرار گرفته است. در حالیکه براساس نتایج رویکرد پیشنهادی و همچنین روش Fuzzy EDAS، خطر R11 در اولویت دوم قرار دارد. علاوه بر این، براساس نتایج روش FMEA، خطرهای R9 و R13 به طور مشترک در جایگاه چهارم و R2 و R7 به طور مشترک در جایگاه ششم قرار گرفته‌اند. بنابراین رویکرد FMEA ستی خطرها را در ۱۴ دسته به جای ۱۶ دسته رتبه‌بندی کرده است. این ضعف در رویکرد Fuzzy EDAS به جهت درنظر گرفتن شرایط عدم قطعیت و وزن دهی به فاکتورها بر طرف شده است. نتایج نشان می‌دهد نتایج حاصل از پیاده‌سازی رویکرد پیشنهادی، با روش Fuzzy EDAS به عنوان یک روش قابل اطمینان (پلات و بایهان، ۲۰۲۲) در شناسایی خطرهای بحرانی تقریباً مشابه عمل کرده و نتایج ضریب همبستگی ۹۳ درصد را نشان می‌دهد و فقط در چند مورد اولویت‌بندی خطرها متفاوت است که این تفاوت به علت درنظر گرفتن قابلیت اطمینان در کنار عدم قطعیت در مقادیر عوامل می‌باشد که این برتری رویکرد پیشنهادی نسبت به روش‌های موجود در ادبیات را نشان می‌دهد.

جدول ۱۶. مقایسه اولویت‌بندی حاصل از رویکرد پیشنهادی و روش‌های مرسوم

	FMEA		Fuzzy EDAS		Proposed Approach	
	RPN	Rank	K_i	Rank	K_i	Rank
R1	1406.667	2	0.51۶	7	0.325	10
R2	1045.333	6	0.358	9	0.371	8
R3	954.66۷	8	0.773	4	0.659	4
R4	832	11	۰.۰۳۷	16	0.105	15
R5	1456	1	1.000	1	1.000	1
R6	1278.667	3	0.81۸	3	0.675	3
R7	1045.333	6	0.49۸	8	0.556	6
R8	616	15	0.22۵	12	0.282	12
R9	1176	4	0.152	13	0.015	16
R10	880	9	0.116	15	0.283	11
R11	666.66۷	13	0.98۹	2	0.904	2
R12	656	14	0.542	6	0.639	5
R13	1176	4	0.62۶	5	0.506	7
R14	848	10	0.261	11	0.163	13
R15	385.333	16	0.14۶	14	0.134	14
R16	672	12	0.325	10	0.370	9

شکل ۲ نتایج روش های مرسوم Fuzzy EDAS و امتیاز RPN سنتی در ارائه رتبه بندی کامل در مقایسه با رویکرد پیشنهادی این پژوهش را نشان می دهد.



شکل ۲. مقایسه اولویت‌بندی خطرها براساس روش EDAS، Fuzzy EDAS و امتیاز RPN

سه خطر با اولویت‌های اول تا سوم براساس روش Bow Tie Z-EDAS، با استفاده از روش Bow Tie، مورد تجزیه و تحلیل قرار می‌گیرند. خطر "انتقال داده‌ها از به دستگاه‌های غیرمجاز" در اولویت اول قرار گرفته است. نتایج تحلیل روش Bow Tie در "انتقال داده‌ها از به دستگاه‌های غیرمجاز" شکل ۳، شش دلیل بروز خطر را نشان داد. با این حال مدیران سازمان می‌توانند هفده اقدام پیشگیرانه را انجام دهند. سپس پنج پیامد در صورت بروز خطر و چهارده اقدام کاهش دهنده پیامدها وجود دارد. نتایج روش Bow Tie از روش طوفان فکری و مصاحبه با خبرگان به دست می‌آید. در ادامه برخی از دلایل بروز این خطر آورده شده است:

خطای انسانی: خطر انتقال داده از و به دستگاه‌های غیرمجاز می‌تواند ناشی از خطای انسانی باشد. کارمندان ممکن است به طور تصادفی داده‌ها را به یک دستگاه غیرمجاز انتقال دهند یا ناگاهانه به یک شبکه نامن متصل شوند. اقدامات پیشگیرانه برای این علت می‌تواند شامل آموزش کارکنان، کمپین‌های آگاهی و اجرای سیاست‌ها و رویه‌های امنیتی باشد که خطرات مربوط به انتقال داده‌ها به دستگاه‌های غیرمجاز را برطرف می‌کند. سازمان‌ها همچنین می‌توانند کنترل‌های دسترسی و رمزگذاری را برای جلوگیری از انتقال تصادفی داده‌ها پیاده‌سازی کنند.

بدافزار: بدافزارهایی مانند ویروس‌ها، تروجانها و غیره می‌توانند دستگاه‌ها را آلوده کرده و اجازه دسترسی غیرمجاز به داده‌ها را صادر کند. بدافزار می‌تواند از طریق پیوست‌های ایمیل، وبسایت‌های آلوه و شبکه‌های نامن منتشر شود. کنترل‌های پیشگیرانه برای این علت می‌توانند شامل پیاده‌سازی راه حل‌های ضد بدافزار، بهروزرسانی نرم‌افزار و سیستم عامل‌ها و اجرای سیاست‌های امنیتی باشد که مانع از دانلود یا نصب نرم‌افزار بر روی دستگاه‌های خود بدون مجوز می‌شود. سازمان‌ها همچنین می‌توانند از فایروال‌ها و سیستم‌های جلوگیری از نفوذ برای شناسایی و مسدود کردن بدافزارها استفاده کنند.

استفاده از دستگاه شخصی: استفاده از دستگاه‌های شخصی مانند تلفن‌های هوشمند، لپ‌تاپ و تبلت در محل کار می‌تواند خطر انتقال غیرمجاز داده‌ها را افزایش دهد. کارمندان ممکن است دستگاه‌های شخصی خود را به شبکه شرکت متصل کنند که می‌تواند منجر به نقض داده‌ها شود. اقدامات پیشگیرانه برای این دلیل می‌تواند شامل اجرای یک خط مشی جهت استفاده قابل قبول از دستگاه‌های شخصی را تعریف می‌کند مانند الزام کارکنان به نصب نرم‌افزار ضد بدافزار و رمزگذاری داده‌های حساس. همچنین سازمان‌ها می‌توانند دستگاه‌های شخصی که به شبکه متصل می‌شوند را نظارت و کنترل کنند.

اقدامات امنیتی ضعیف: اقدامات امنیتی ضعیف مانند رمزهای عبور ضعیف، شبکه‌های نامن و عدم رمزگذاری می‌تواند خطر انتقال غیرمجاز داده را افزایش دهد. زمانیکه اقدامات امنیتی ضعیف باشد، هکرها به راحتی می‌توانند به داده‌ها دسترسی پیدا کنند. کنترل‌های پیشگیرانه برای این علت می‌تواند شامل اجرای سیاست‌های رمز عبور قوی، استفاده از رمزگذاری برای محافظت از داده‌های حساس، اجرای کنترل‌های دسترسی برای محدود کردن دسترسی به داده‌ها و استفاده از سیستم‌های تشخیص/جلوگیری از نفوذ برای محافظت از شبکه باشد.

تهدیدات داخلی: کارمندان با نیت مخرب می‌توانند عمدتاً داده‌ها را به دستگاه‌های غیرمجاز منتقل کنند. این می‌تواند برای منافع شخصی یا آسیب‌رساندن به سازمان باشد. اقدامات پیشگیرانه برای این علت می‌توانند شامل اجرای بررسی پیشنه برای کارمندان جدید، نظارت بر فعالیت کارکنان و اجرای کنترل‌های دسترسی با محدود کردن دسترسی به داده‌های حساس باشد. سازمان‌ها همچنین می‌توانند سیاست‌هایی را اجرا کنند که کارکنان را ملزم به گزارش هرگونه فعالیت مشکوک کنند. مهندسی اجتماعی: مجرمان سایبری می‌توانند از تاکتیک‌های مهندسی اجتماعی برای فریب کارمندان برای انتقال داده‌ها به دستگاه‌های غیرمجاز استفاده کنند. آنها ممکن است به عنوان یک موجودیت قانونی ظاهر شوند یا از ایمیل‌های فیشنینگ برای دسترسی به داده‌های حساس استفاده کنند. اقدامات پیشگیرانه برای این علت می‌توانند شامل آموزش کارکنان باشد که به آنها در مورد خطرات حملات مهندسی اجتماعی و نحوه شناسایی و پیشگیری از آنها آموزش می‌دهد. سازمان‌ها می‌توانند سیاست‌هایی را اجرا کنند که کارمندان را ملزم کند هویت شخصی که درخواست دسترسی به داده‌ها را قبل از انتقال آنها می‌خواهد، تأیید کنند.

پیامدهای "انتقال داده‌ها از/به دستگاه‌های غیرمجاز" شامل موارد زیر می‌باشد:

از دست دادن داده‌ها: انتقال داده‌ها به دستگاه‌های غیرمجاز می‌تواند منجر به از دست رفتن داده‌ها شود که می‌تواند منجر به خسارات مالی، از دست دادن مالکیت معنوی و آسیب به اعتبار شود. اقدامات کاهش دهنده می‌توانند شامل پشتیبان‌گیری از داده‌ها، برنامه‌های بازیابی و رمزگذاری داده‌ها باشد.

دسترسی غیرمجاز: انتقال غیرمجاز داده می‌تواند منجر به دسترسی غیرمجاز به داده‌های حساس شود که می‌تواند منجر به نقض داده‌ها و سایر حملات سایبری شود. کنترل‌های کاهش دهنده می‌توانند شامل کنترل‌های دسترسی، تقسیم‌بندی شبکه و رمزگذاری داده‌ها باشد.

آسیب اعتبار: نقض داده‌ها می‌تواند به اعتبار سازمان آسیب برساند و اعتماد مشتری را از بین برد. کنترل‌های کاهش دهنده می‌توانند شامل افشاری به موقع نقض داده‌ها و شفافیت با مشتریان باشد.

زیان‌های مالی: انتقال داده‌ها به دستگاه‌های غیرمجاز می‌تواند منجر به خسارات مالی ناشی از سرقت یا از دست دادن داده‌های حساس شود. کنترل‌های کاهش‌دهنده می‌تواند شامل پشتیبان‌گیری از داده‌ها، سیاست‌های بیمه و اجرای کنترل‌های امنیتی باشد که از سرقت داده‌ها جلوگیری می‌کند.



شکل ۳. تجزیه و تحلیل Bow Tie برای "انتقال داده‌ها از به دستگاه‌های غیرمجاز"

خطر "حملات مهندسی اجتماعی" در اولویت اول قرار گرفته است. نتایج تحلیل روش Bow Tie در "حملات مهندسی اجتماعی" (شکل ۴)، پنج دلیل بروز خطر را نشان داد. با این حال مدیران سازمان می‌توانند هفت اقدام پیشگیرانه را انجام دهند. سپس پنج پیامد در صورت بروز خطر و یا زده اقدام کاهش‌دهنده پیامدها وجود دارد. در ادامه برخی از دلایل بروز این خطر آورده شده است:

خطای انسانی: مجرمان سایبری می‌توانند از خطای انسانی برای فریب افراد برای افشای اطلاعات حساس یا انجام اقداماتی که امنیت را به خطر می‌اندازد، استفاده کنند. به عنوان مثال: کارمندان ممکن است روی یک پیوند کلیک کنند یا یک پیوست را از منبعی ناشناس دانلود کنند یا رمز عبور یا اطلاعات حساب را ارائه دهند. سازمان‌ها می‌توانند خطر حملات مهندسی اجتماعی ناشی از خطای انسانی را با ارائه آموزش‌های منظم آگاهی امنیتی برای کارکنان کاهش دهند. آموزش باید موضوعاتی مانند نحوه تشخیص تاکتیک‌های مهندسی اجتماعی، نحوه ایجاد رمزهای عبور قوی، نحوه مدیریت امن اطلاعات حساس و نحوه گزارش حوادث امنیتی را پوشش دهد.

عدم آگاهی امنیتی: اگر افراد از خطرات مرتبط با حملات مهندسی اجتماعی آگاه نباشند، ممکن است تشخیص ندهند که چه زمانی مورد هدف قرار می‌گیرند. آنها ممکن است ندانند به دنبال چه چیزی باشند یا چه اقدامات احتیاطی را برای محافظت از خود و سازمانشان انجام دهند. آموزش منظم آگاهی امنیتی می‌تواند به افزایش آگاهی امنیتی در بین کارکنان و کاهش خطر حملات مهندسی اجتماعی کمک کند. همچنین سازمان‌ها می‌توانند از حملات مهندسی اجتماعی شبیه‌سازی شده برای آزمایش آگاهی کارکنان و شناسایی زمینه‌های بهبود استفاده کنند.

اشتراک گذاری بیش از حد اطلاعات در شبکه‌های اجتماعی: مجرمان سایبری می‌توانند اطلاعات افراد را از طریق شبکه‌های اجتماعی جمع‌آوری کنند و از آن اطلاعات برای ایجاد ایمیل یا پیام‌های فیشنینگ قانع کننده، استفاده کنند.

سازمان‌ها می‌توانند کارکنان را در مورد خطرات مرتبط با اشتراک‌گذاری بیش از حد اطلاعات شخصی در شبکه‌های اجتماعی آموزش دهند و آنها را تشویق کنند که میزان اطلاعات شخصی را که به صورت آنلاین به اشتراک می‌گذارند، محدود کنند. آنها همچنین می‌توانند سیاست‌های شبکه‌های اجتماعی را با هدف ممنوعیت اشتراک‌گذاری اطلاعات حساس در شبکه‌های اجتماعی، اجرا کنند.

رمزهای عبور ضعیف: رمزهای عبور ضعیف اهداف آسانی برای مجرمان سایبری هستند. آنها می‌توانند از تاکتیک‌های مهندسی اجتماعی برای فریب افراد برای افشاء رمزهای عبور استفاده کنند یا می‌توانند از ابزارهای خود کار برای شکستن رمزهای عبور ضعیف استفاده کنند. سازمان‌ها می‌توانند از کارمندان بخواهند از رمزهای عبور قوی استفاده کنند که شامل ترکیبی از حروف بزرگ و کوچک، اعداد و کاراکترهای خاص است. آنها همچنین می‌توانند احراز هویت دو مرحله‌ای را برای ارائه یک لایه امنیتی اضافی پیاده‌سازی کنند.

نرم‌افزار قدیمی: نرم‌افزارهای قدیمی می‌توانند دارای آسیب‌پذیری‌هایی باشند که می‌توانند توسط مجرمان سایبری برای دسترسی به سیستم‌ها و داده‌ها مورد سوء استفاده قرار گیرند. آنها می‌توانند از تاکتیک‌های مهندسی اجتماعی برای مقاومت کردن افراد برای دانلود نرم‌افزارهای مخرب یا باز کردن پیوست‌هایی که از این آسیب‌پذیری‌ها سوء استفاده می‌کنند استفاده کنند. سازمان‌ها می‌توانند با اجرای یک برنامه مدیریت بهروزرسانی نرم‌افزارها، خطر حملات مهندسی اجتماعی را که از آسیب‌پذیری‌های نرم‌افزارهای قدیمی سوء استفاده می‌کنند، کاهش دهند. این برنامه باید شامل بهروزرسانی‌های منظم نرم‌افزارها برای رفع آسیب‌پذیری‌های شناخته شده باشد.

پیامدهای "حملات مهندسی اجتماعی" شامل موارد زیر می‌باشد:

نقض داده‌ها: حملات مهندسی اجتماعی می‌تواند منجر به نقض داده‌ها شود که در آن اطلاعات حساس مورد دسترسی، سرقت یا به خطر افتادن قرار می‌گیرد. سازمان‌ها می‌توانند این خطر را با اجرای کنترل‌های دسترسی قوی، رمز‌گذاری و ابزارهای نظارتی برای شناسایی و واکنش سریع به نقض داده‌ها کاهش دهند.

زیان مالی: حملات مهندسی اجتماعی می‌تواند منجر به زیان مالی برای افراد و سازمان‌ها شود. برای مثال: کلاهبرداران ممکن است از تاکتیک‌های مهندسی اجتماعی برای فریب‌دادن افراد برای ارائه اطلاعات بانکی خود یا انتقال وجهه به حساب‌های جعلی استفاده کنند. سازمان‌ها می‌توانند با اجرای کنترل‌های احراز هویت قوی و نظارت بر تراکنش‌های مالی برای فعالیت‌های مشکوک، این خطر را کاهش دهند.

آسیب به اعتبار: حملات مهندسی اجتماعی می‌تواند به اعتبار یک سازمان آسیب برساند. اگر اطلاعات حساس افشا شود یا اگر کارکنان فریب داده شوند، اظهارات عمومی به وجهه سازمان آسیب می‌زند. سازمان‌ها می‌توانند با اجرای سیاست‌های سختگیرانه برای ارتباطات عمومی و آموزش کارکنان در مورد نحوه برقراری ارتباط موثر و ایمن، این خطر را کاهش دهند. پیامدهای قانونی: حملات مهندسی اجتماعی در صورت دسترسی به اطلاعات حساس یا نقض مقررات می‌توانند منجر به عواقب قانونی شود. سازمان‌ها می‌توانند با استفاده از ابزارهای نظارتی برای اطمینان از رعایت مقررات، این خطر را کاهش دهند.

اختلالات عملیاتی: حملات مهندسی اجتماعی می‌تواند عملیات سازمان را مختل کند. اگر سیستم‌ها به خطر بیافتدند یا اگر کارکنان فریب داده شوند، اطلاعات حساسی را که برای عملیات تجاری موردنیاز است، ارائه می‌دهند. سازمان‌ها می‌توانند این خطر را با اجرای کنترل‌های دسترسی قوی، سیستم‌های نظارت بر فعالیت‌های مشکوک و ارائه آموزش‌های آگاهی امنیتی منظم برای کارکنان کاهش دهند.



شکل ۴. تجزیه و تحلیل Bow Tie برای "حملات مهندسی اجتماعی"

خطر "آلودگی به بدافزارها و ویروس‌ها (به صورت تصادفی یا عمدی)" در اولویت سوم قرار گرفته است. نتایج تحلیل روش Bow Tie، در "آلودگی به بدافزارها و ویروس‌ها (به صورت تصادفی یا عمدی)" (شکل ۵، پنج دلیل بروز خطر را نشان داد. با این حال، مدیران سازمان می‌توانند هفت اقدام پیشگیرانه را انجام دهند. سپس پنج پیامد در صورت بروز خطر و دوازده اقدام کاهش‌دهنده پیامدها وجود دارد. در ادامه برخی از دلایل بروز این خطر آورده شده است:

حملات فیشنینگ: یکی از رایج‌ترین راه‌های انتشار بدافزارها و ویروس‌ها از طریق حملات فیشنینگ است. برای جلوگیری از این حملات، سازمان‌ها می‌توانند از فیلترهای ایمیل برای شناسایی و مسدود کردن ایمیل‌های مشکوک استفاده کنند. آنها همچنین می‌توانند برنامه‌های آموزشی کارکنان را برای کمک به کارکنان در شناسایی ایمیل‌های فیشنینگ و جلوگیری از قربانی شدن این حملات انجام دهند.

نرم افزار قدیمی: نرم افزار قدیمی می‌تواند دارای آسیب‌پذیری‌هایی باشد که مهاجمان می‌توانند از آنها برای انتشار بدافزارها و ویروس‌ها سوء استفاده کنند. برای جلوگیری از این امر، سازمان‌ها می‌توانند با یک برنامه مدیریت به روزرسانی نرم افزارها، خطر حملات مهندسی فیشنینگ را کاهش دهند.

وب‌سایت‌های مخرب: بازدید از وب‌سایت‌های مخرب می‌تواند منجر به آلوده شدن بدافزارها و ویروس‌ها شود. برای جلوگیری از این امر، سازمان‌ها می‌توانند فیلترهای وب را پیاده‌سازی کنند که دسترسی به وب‌سایت‌های مخرب شناخته شده را مسدود می‌کند.

شبکه‌های نامن: شبکه‌های نامن می‌توانند توسط مهاجمان برای راه‌اندازی حملات و انتشار بدافزارها و ویروس‌ها استفاده شوند. برای جلوگیری از این امر، سازمان‌ها می‌توانند کنترل‌های امنیتی شبکه مانند فایروال‌ها و سیستم‌های جلوگیری از نفوذ را اجرا کنند.

دانلودهای نامن: دانلود نرم‌افزار یا فایل‌ها از منابع نامعتبر می‌تواند منجر به آلدگی بdafزارها و ویروس‌ها شود. برای جلوگیری از این امر، سازمان‌ها می‌توانند دسترسی کارمندان را به منابع نامعتبر محدود کنند و از نرم‌افزارهای حفاظت استفاده کنند که همه فایل‌های دانلودشده را برای شناسایی بdafزار اسکن می‌کند.

رمزهای عبور ضعیف: رمزهای عبور ضعیف می‌توانند به راحتی توسط مهاجمان شکسته شوند و دسترسی آنها به سیستم‌ها و داده‌ها را فراهم می‌کند. برای جلوگیری از این امر، سازمان‌ها می‌توانند سیاست‌های رمز عبور قوی را اجرا کنند که کارکنان را ملزم به استفاده از رمزهای عبور پیچیده و اجرای احراز هویت چند عاملی می‌کند.

پیامدهای "آلودگی" به بdafزارها و ویروس‌ها (به صورت تصادفی یا عمدی) "شامل موارد زیر می‌باشد:

سرقت یا از دست دادن داده‌ها: بdafزار می‌توانند برای سرقت داده‌های حساس یا از بین بردن آنها استفاده شوند. برای کاهش این موضوع، سازمان‌ها می‌توانند رویه‌های پشتیبان‌گیری و بازیابی داده‌ها را پیاده‌سازی کنند. دسترسی کارکنان به داده‌های حساس را محدود کنند و از رمزگذاری برای محافظت از داده‌های حساس استفاده کنند.

از کار افتادن سیستم: بdafزارها و ویروس‌ها می‌توانند سیستم‌ها را مختل کرده و باعث خرابی شوند. برای کاهش این امر، سازمان‌ها می‌توانند از سیستم‌های پشتیبان استفاده کنند.

زیان‌های مالی: بdafزارها و ویروس‌ها می‌توانند برای سرقت وجهه یا انجام تراکنش‌های غیرمجاز استفاده شوند. برای کاهش این امر، سازمان‌ها می‌توانند کنترل‌های مالی مانند احراز هویت چند مرحله‌ای برای تراکنش‌های مالی و حسابرسی منظم تراکنش‌های مالی را اجرا کنند.

آسیب اعتبار: حمله بdafزار می‌تواند به اعتبار سازمان آسیب برساند و منجر به از دست دادن اعتماد و درآمد مشتری شود. برای کاهش این امر، سازمان‌ها می‌توانند در مورد حوادث امنیتی شفاف باشند، به طور منظم با مشتریان و ذینفعان ارتباط برقرار کنند و در ایجاد یک فرهنگ امنیتی قوی سرمایه‌گذاری کنند.

نقض انطباق: حملات بdafزار می‌توانند منجر به نقض انطباق، مانند نقض قوانین حفاظت از داده‌ها شود. برای کاهش این امر، سازمان‌ها می‌توانند ابزارهای نظارت و گزارش انطباق را پیاده‌سازی کنند، ممیزی‌های انطباق منظم را انجام دهند و کارکنان را در مورد الزامات انطباق آموزش دهند.



شکل ۵. تجزیه و تحلیل Bow Tie برای "آلودگی" به بdafزارها و ویروس‌ها (به صورت تصادفی یا عمدی)

(۸) نتیجه‌گیری و پیشنهادها

هر جا که داده‌های دیجیتال در دسترس باشد، حملات و مسائل سایبری، امنیت سایبری اکوسیستم دیجیتالی را تهدید می‌کند. بنابراین ارزیابی خطرهای امنیت سایبری، از اهمیت بالایی برخوردار است. FMEA یکی از مدل‌های شناسایی و رتبه‌بندی خطرهای است که به دلیل تحلیل پذیری مناسب، جزء پرکاربردترین روش‌ها است. با وجود گستردگی کاربرد این مدل، کاستی‌ها و نقاط ضعف این روش منجر شده‌است که برخی از محققان به دنبال بهبود این روش سنتی باشند. بنابراین در این پژوهش، یک رویکرد ترکیبی از روش توسعه یافته FMEA با استفاده از روش F-PIPRECIA جهت وزن‌دهی به معیارها و Z-EDAS و روش تحلیل خطر Bow Tie جهت اولویت‌بندی و تحلیل خطرهای امنیت سایبری در انقلاب صنعتی چهارم ارائه شده‌است. براساس نتایج به دست آمده، به ترتیب "انتقال داده‌ها از به دستگاه‌های غیر مجاز"، "حملات مهندسی اجتماعی" و "آلودگی به بدافزارها و ویروس‌ها (به صورت تصادفی یا عمدی)" به عنوان خطرهای بحرانی انتخاب شده و در اولویت رسیدگی هستند. از طرفی، "پارازیت، تکرار گره و مسیریابی نادرست اطلاعات" به عنوان اولویت آخر انتخاب شده و در حال حاضر نیازمند اقدام اصلاحی نمی‌باشد. همچنین نتایج تحلیل خطر با استفاده از روش Bow Tie، منجر به رفع استخراج ۳۷ فعالیت کاهش‌دهنده پیامدهای خطرهای امنیت سایبری شده‌است. استفاده از رویکرد توسعه یافته منجر به رفع برخی نواقص روش FMEA سنتی مانند عدم ارائه رتبه‌بندی کامل گزینه‌ها و عدم درنظر گرفتن اهمیت نسبی شاخص‌ها شده‌است. تعداد محدود خبرگان در این حوزه و همچنین عدم تخصیص وزن به هر یک از خبرگان براساس سطح دانش و میزان تجربه آنها، از جمله محدودیت‌های این پژوهش می‌باشد. در آینده ما تحقیقات خود را در راستای رفع محدودیت‌های پژوهش حاضر و توسعه روش FMEA با استفاده از روش‌های تصمیم‌گیری چندمعیاره در محیط‌های عدم قطعیت نظری فازی فیثاغورثی، q-rung و فازی کروی و همچنین ترکیب این روش با روش‌های دیگر ارزیابی خطر، گسترش خواهیم داد. فارغ از مسئله استفاده شده جهت پیاده‌سازی رویکرد پیشنهادی این پژوهش، این رویکرد در سناریوهای مختلف شناسایی و تحلیل خطر و حالات خرابی قابل اجرا خواهد بود.

منابع

- Aguirre, P. A. G., Pérez-Domínguez, L., Luviano-Cruz, D., Solano-Noriega, J., & Cordero-Díaz, M. C. (2023). AHP-FMEA-DA multi-criteria method for NPD project launch analysis. *International Journal of Innovation and Sustainable Development*, 17(1-2), 138-151. doi.org/10.1016/j.ejor.2369.05.967
- Al-Fuqaha, A., Guizani, M., Mohammadi, M., Aledhari, M., & Ayyash, M. (2015). Internet of things: A survey on enabling technologies, protocols, and applications. *IEEE communications surveys & tutorials*, 17(4), 2347-2376. doi.org/10.1016/j.ejor.4157.05.638
- Ambarwati, R., Yuliastri, D., & Sulistiyowati, W. (2022). Human resource risk control through COVID-19 risk assessment in Indonesian manufacturing. *Journal of Loss Prevention in the Process Industries*, 74, 104665. doi.org/10.1016/j.ejor.6375.05.967
- Ardanza, A., Moreno, A., Segura, Á., de la Cruz, M., & Aguinaga, D. (2019). Sustainable and flexible industrial human machine interfaces to support adaptable applications in the Industry 4.0 paradigm. *International Journal of Production Research*, 57(12), 4045-4059. doi.org/10.1016/j.ejor.1389.05.967
- Bahrin, M. A. K., Othman, M. F., Azli, N. H. N., & Talib, M. F. (2016). Industry 4.0: A review on industrial automation and robotic. *Jurnal teknologi*, 78 (۶-۱۳) doi.org/10.1016/j.ejor.3178.05.635

- Balda, J. C., Mantooth, A., Blum, R., & Tenti, P. (2017). Cybersecurity and power electronics: Addressing the security vulnerabilities of the internet of things. *IEEE Power Electronics Magazine*, 4(4), 37-43 . doi.org/10.1016/j.ejor.6359.05.617
- Barlette, Y., Gundolf, K., & Jaouen, A. (2017). CEOs' information security behavior in SMEs: Does ownership matter? *Systèmes d'information et management*, 22(3), 7-45 . doi.org/10.1016/j.ejor.2369.05.319
- Bayazit, O., & Kaptan, M. (2018). Evaluation of the risk of pollution caused by ship operations through bow-tie-based fuzzy Bayesian network. *Journal of cleaner production*, 382, 135386 . doi.org/10.1016/j.ejor.2169.05.007
- Benias, N., & Markopoulos, A. P. (2017). *A review on the readiness level and cyber-security challenges in Industry 4.0*. Paper presented at the 2017 South Eastern European Design Automation, Computer Engineering, Computer Networks and Social Media Conference (SEEDA-CECNSM). doi.org/10.1016/j.ejor.2008.05.027
- Berry, C. T., & Berry, R. L. (2018). An initial assessment of small business risk management approaches for cyber security threats. *International Journal of Business Continuity and Risk Management*, 8(1), 1-10 . doi.org/10.1016/j.ejor.2008.05.027
- Bitton, R., Maman, N., Singh, I., Momiyama, S., Elovici, Y., & Shabtai, A. (2023). Evaluating the Cybersecurity Risk of Real-world, Machine Learning Production Systems. *ACM Computing Surveys*, 55(9), 1-36 . doi.org/10.1016/j.ejor.2008.05.027
- Cheminod, M., Durante, L., Seno, L., Valenza, F., Valenzano, A., & Zunino, C. (2017). *Leveraging SDN to improve security in industrial networks*. Paper presented at the 2017 IEEE 13th International Workshop on Factory Communication Systems (WFCS). doi.org/10.1016/j.ejor.2008.05.027
- Cisco. (2018). Cisco 2018 Annual Cybersecurity Report. In: Cisco Technology News Site San Jose, CA, USA. doi.org/10.1016/j.ejor.2008.05.027
- Corallo, A., Lazoi, M., & Lezzi, M. (2020). Cybersecurity in the context of industry 4.0: A structured classification of critical assets and business impacts. *Computers in Industry*, 114, 103165 . doi.org/10.1016/j.ejor.2008.05.027
- Corbò, G., Foglietta, C., Palazzo, C., & Panzieri, S. (2018). Smart behavioural filter for industrial internet of things: A security extension for plc. *Mobile Networks and Applications*, 23, 809-816 . doi.org/10.1016/j.ejor.2008.05.027
- Dieber, B., Breiling, B., Taurer, S., Kacianka, S., Rass, S., & Schartner, P. (2017). Security for the robot operating system. *Robotics and Autonomous Systems*, 98, 192-203 . doi.org/10.1016/j.ejor.2008.05.027
- Flatt, H., Schriegel, S., Jasperneite, J., Trsek, H., & Adamczyk, H. (2016). *Analysis of the Cyber-Security of industry 4.0 technologies based on RAMI 4.0 and identification of requirements*. Paper presented at the 2016 IEEE 21st International Conference on Emerging Technologies and Factory Automation (ETFA). doi.org/10.1016/j.ejor.2008.05.027
- Ghadge, A., Er Kara, M., Moradlou, H., & Goswami, M. (2020). The impact of Industry 4.0 implementation on supply chains. *Journal of Manufacturing Technology Management*, 31(4), 669-686 . doi.org/10.1016/j.ejor.2008.05.027
- Ghiaci, A. M., & Ghoushchi ,S. J. (2023). Assessment of barriers to IoT-enabled circular economy using an extended decision-making-based FMEA model under uncertain environment. *Internet of Things*, 100719 . doi.org/10.1016/j.ejor.2008.05.027
- Ghoushchi, S. J., Jalalat, S. M., Bonab, S. R., Ghiaci, A. M., Haseli, G , & Tomaskova, H. (2022). Evaluation of wind turbine failure modes using the developed SWARA-CoCoSo methods based on the spherical fuzzy environment. *IEEE Access*, 10, 86750-86764 . doi.org/10.1016/j.ejor.2008.05.027
- Ghoushchi, S. J., Yousefi, S., & Khazaeeili, M. (2019). An extended FMEA approach based on the Z-MOORA and fuzzy BWM for prioritization of failures. *Applied Soft Computing*, 81, 105505 . doi.org/10.1016/j.ejor.2008.05.027
- Gul, M., & Ak, M. F. (2021). A modified failure modes and effects analysis using interval-valued spherical fuzzy extension of TOPSIS method: case study in a marble manufacturing facility. *Soft Computing*, 25(8), 6157-6178 . doi.org/10.1016/j.ejor.2008.05.027
- Habibor Rahman, M., Son, Y.-J., & Shafae, M. (2023). Graph-Theoretic Approach for Manufacturing Cybersecurity Risk Modeling and Assessment. *arXiv e-prints*, arXiv: 2301.07305 . doi.org/10.1016/j.ejor.2008.05.027

- Hassanzadeh, A., Modi, S., & Mulchandani, S. (2015). *Towards effective security control assignment in the Industrial Internet of Things*. Paper presented at the 2015 IEEE 2nd World Forum on Internet of Things (WF-IoT). doi.org/10.1016/j.ejor.2008.05.027
- Jafarzadeh Ghoushchi, S., Memarpour Ghiaci, A., Rahnamay Bonab, S., & Ranjbarzadeh, R. (2022). Barriers to circular economy implementation in designing of sustainable medical waste management systems using a new extended decision-making and FMEA models. *Environmental Science and Pollution Research*, 1-19. doi.org/10.1016/j.ejor.137.05.975
- Jafarzadeh Ghoushchi, S., Shaffiee Haghshenas, S., Memarpour Ghiaci, A., Guido, G., & Vitale, A. (2022). Road safety assessment and risks prioritization using an integrated SWARA and MARCOS approach under spherical fuzzy environment. *Neural Computing and Applications*, 1-19. doi.org/10.1016/j.ejor.2369.05.627
- James, A. T., Kumar, G., Tayal, P., Chauhan, A., Wadhawa, C., & Panchal, J. (2022). Analysis of human resource management challenges in implementation of industry 4.0 in Indian automobile industry. *Technological Forecasting and Social Change*, 176, 121483. vdoi.org/10.1016/j.ejor.2084.05.317
- Januário, F., Carvalho, C., Cardoso, A., & Gil, P. (2016). *Security challenges in SCADA systems over Wireless Sensor and Actuator Networks*. Paper presented at the 2016 8th International Congress on Ultra Modern Telecommunications and Control Systems and Workshops (ICUMT). doi.org/10.1016/j.ejor.2008.05.4196
- Jin, G., Meng, Q., & Feng, W. (2022). Optimization of Logistics System with Fuzzy FMEA-AHP Methodology. *Processes*, 10(10), 1973. doi.org/10.1016/j.ejor.2008.05.1962
- Kazemi, M., Abbasi, A., Kazemi, M., Jamshidzadeh, N., & Rashidi, M. A. (۱۴۰۱). Identification of Hazards and Risk Assessment among Various Units of Ilam Gas Refinery using the Integrated Approach of Bow-tie and FMEA Methods. *Journal of Ilam University of Medical Sciences*, 29(2), 1-12. doi.org/10.1016/j.ejor.2008.05.927
- Keshavarz Ghorabae, M., Zavadskas, E. K., Olfat, L., & Turskis, Z. (2015). Multi-criteria inventory classification using a new method of evaluation based on distance from average solution (EDAS). *Informatica*, 26(3), 435-451. doi.org/10.1016/j.ejor.2015.05.418
- Khalid, A., Kirisci, P., Khan, Z. H., Ghrairi, Z., Thoben, K.-D., & Pannek, J. (2018). Security framework for industrial collaborative robotic cyber-physical systems. *Computers in Industry*, 97, 132-145.
- Kobara, K. (2016). Cyber physical security for industrial control systems and IoT. *IEICE TRANSACTIONS on Information and Systems*, 99(4), 787-795. doi.org/10.1016/j.ejor.2016.05.418
- Kumari, S., Ahmad, K., Khan, Z. A., & Ahmad, S. (2023). Failure mode and effects analysis of common effluent treatment plants of humid sub-tropical regions using fuzzy based MCDM methods. *Engineering Failure Analysis*, 145, 1070. doi.org/10.1016/j.ejor.2023.05.964
- Lee, S., Lee, S., Yoo, H., Kwon, S., & Shon, T. (2018). Design and implementation of cybersecurity testbed for industrial IoT systems. *The Journal of Supercomputing*, 74, 4506-4520. doi.org/10.1016/j.ejor.2018.05.630
- Lezzi, M., Lazoi, M., & Corallo, A. (2018). Cybersecurity for Industry 4.0 in the current literature: A reference framework. *Computers in Industry*, 103, 97-110. doi.org/10.1016/j.ejor.2018.05.361
- Mulcahy, M. B., Boylan, C., Sigmund, S., & Stuart, R. (2017). Using bowtie methodology to support laboratory hazard identification, risk management, and incident analysis. *Journal of Chemical Health & Safety*, 24(3), 14-20. doi.org/10.1016/j.ejor.2017.05.369
- Nwakanma, C. I., Islam, F. B., Maharani, M. P., Lee, J.-M., & Kim, D.-S. (2021). Detection and classification of human activity for emergency response in smart factory shop floor. *Applied Sciences*, 11(8), 3662. doi.org/10.1016/j.ejor.2021.05.084
- Polat, G., & Bayhan, H. G. (2022). Selection of HVAC-AHU system supplier with environmental considerations using Fuzzy EDAS method. *International journal of construction management*, 22(10), 1863-1871. doi.org/10.1016/j.ejor.2022.05.362
- Preuveneers, D., Joosen, W., & Ilie-Zudor, E. (2017a). *Identity management for cyber-physical production workflows and individualized manufacturing in industry 4.0*. Paper presented at the Proceedings of the Symposium on Applied Computing. doi.org/10.1016/j.ejor.2008.05.382

- Preuveneers, D., Joosen, W., & Ilie-Zudor, E. (2017b). Trustworthy data-driven networked production for customer-centric plants. *Industrial Management & Data Systems* .
- Ren, A., Wu, D., Zhang, W., Terpenny, J., & Liu, P. (2017). *Cyber security in smart manufacturing: Survey and challenges*. Paper presented at the IIE Annual Conference. Proceedings. doi.org/10.1016/j.ejor.2008.05.418
- Renaud, K., & Weir, G. R. (2016). *Cybersecurity and the unbearableability of uncertainty*. Paper presented at the 2016 Cybersecurity and Cyberforensics Conference (CCC). doi.org/10.1016/j.ejor.2008.05.047
- Söner, Ö., Kayisoglu, G., Bolat, P., & Tam, K. (2017). Cybersecurity risk assessment of VDR. *The Journal of Navigation*, 1-18 . vdoi.org/10.1016/j.ejor.2008.05.086
- Stanujkic, D., Zavadskas, E. K., Karabasevic, D., Smarandache, F., & Turskis, Z. (2017). *The use of the pivot pairwise relative criteria importance assessment method for determining the weights of criteria: Infinite Study*. doi.org/10.1016/j.ejor.2008.05.087
- Sukumar, A., Mahdiraji, H. A., & Jafari-Sadeghi, V. (2023). Cyber risk assessment in small and medium-sized enterprises: A multilevel decision-making approach for small e-tailors. *Risk Analysis* . doi.org/10.1016/j.ejor.2008.05.415
- Urquhart ,L., & McAuley, D. (2018). Avoiding the internet of insecure industrial things. *Computer law & security review*, 34(3), 450-466 . doi.org/10.1016/j.ejor.2008.05.369
- van Lier, B. (2017). The industrial internet of things and cyber security: An ecological and systemic perspective on security in digital industrial ecosystems. Paper presented at the 2017 21st International Conference on System Theory, Control and Computing (ICSTCC). doi.org/10.1016/j.ejor.1998.05.301
- Voicu, I., Panaitescu, F., Panaitescu, M., Dumitrescu, L., & Turof, M. (2018). *Risk management with Bowtie diagrams*. Paper presented at the IOP Conference Series: Materials Science and Engineering. doi.org/10.1016/j.ejor.2012.05.065
- Xu, P., He, S., Wang, W., Susilo, W., & Jin, H. (2017). Lightweight searchable public-key encryption for cloud-assisted wireless sensor networks. *IEEE Transactions on industrial informatics*, 14(8), 3712-3723. doi.org/10.1016/j.ejor.2009.05.036